

Государственный комитет РСФСР по делам науки и высшей школы
Ордена Трудового Красного Знамени
научно-исследовательский радиофизический институт (НИРФИ)
.....

П р е п р и н т № 321

ОСОБЕННОСТИ ПРОСТРАНСТВЕННО-ЧАСТОТНОГО РАСПРЕДЕЛЕНИЯ
ИНТЕНСИВНОСТИ ШИРОКОПОЛОСНОГО ЗВУКА
В МЕЛКОВОДНОМ ОКЕАНИЧЕСКОМ ВОЛНОВОДЕ

В.Н.Лобанов
Ю.В.Петухов

Нижний Новгород 1991.

Л о б а н о в В. Н., П е т у х о в Д. В.

ОСОБЕННОСТИ ПРОСТРАНСТВЕННО-ЧАСТОТНОГО РАСПРЕДЕЛЕНИЯ ИНТЕНСИВНОСТИ ШИРОКОПОЛОСНОГО ЗВУКА В МЕЛКОВОДНОМ СКВАНИЧЕСКОМ ВОЛНОВОДЕ //Препринт № 321. - Нижний Новгород: НИРФИ, 1991. - 49 с.

УДК 534.231.1

Анализ экспериментальных данных для интенсивности широкополосного звука в мелком море показал, что в поведении линий экстремальных значений этой величины на плоскости частота - дистанция имеются особенности, проявляющиеся в смене знака тангенса угла наклона этих линий в области низких частот и объясняющиеся влиянием сейсмических волн на формирование интерференционной структуры поля в океаническом волноводе.

I. ВВЕДЕНИЕ

При распространении звуковых волн в океанических волноводах в определенной области расстояний и соответствующем диапазоне частот наблюдается интерференционная структура поля, которая для широкополосных сигналов характеризуется существованием на плоскости частота - расстояние $(f - r)$ линий экстремальных значений интенсивности $J(f, r) / I_0$, имеющих определенный угол наклона, тангенс которого β , как отмечалось в [1, 2], является инвариантом пространственно-частотной интерференционной структуры поля для определенной группы мод:

$$\beta = \frac{r}{\omega} \left(\frac{\partial \omega}{\partial r} \right) = - \frac{dm_\phi}{dm_r}, \quad (I)$$

здесь $\omega = 2\pi f$, $m_\phi = c_\phi^{-1}$, $m_r = c_r^{-1}$, c_ϕ и c_r - фазовая и групповая скорости, характеризующие данную группу мод. Необходимо отметить, что при получении выражения (I) в [1, 2] использовалось предположение о функциональной зависимости $c_r = c_r(c_\phi)$, исключаящей в качестве явных переменных номер моды и частоту, которое справедливо в приближении ВКБ и в волноводах с идеально отражающими границами [7]. В [1, 2] утверждается, что величина β является инвариантом, поскольку для определенной группы мод не зависит от частоты, расстояния r в однородном по трассе волноводе, глубины излучения Z_s и приема Z_r , а определяется свойствами среды и средним по этой группе мод значением производной в (I). В неоднородном по трассе волноводе β для определенной группы мод будет изменяться с расстоянием r (см. [2, 8]):

$$\beta(r) = - \frac{dm_{\phi}(r)}{dm_r(r)}, \quad (2)$$

где $m_r(r) = \frac{1}{r} \int_0^r m_r(x) dx$, причем не только по величине, но и по знаку; это означает, что на определенных расстояниях могут возникать особенности величины $\beta(r)$ ($\beta^{-1}(r) = 0$), которым на плоскости $\phi - r$ будут соответствовать вертикальные линии экстремальных значений интенсивности, означающие, например, для импульсных сигналов отсутствие дисперсионного распыливания их во времени, вследствие скомпенсированности его различными знаками дисперсионных эффектов /8/. Аналогичная ситуация ($\beta^{-1} = 0$) возможна и в однородном по трассе волноводе при возникновении на определенных расстояниях интерференции между различными типами лучей (соответствующими группами мод), например, водными и донными или водными различных циклов (см./4, 5/). Однако в однородных /4, 5/ и неоднородных /8/ по трассе волноводах величина β^{-1} будет обращаться в нуль лишь в определенной области частот, в которой минимальны хроматические аберрации, неучитываемые в приближении ВКБ (см./9/), что проявляется в экспериментальных зависимостях $J(\phi, r)$, полученных в /4, 5/, и не учтено в /8/. Зависимость от частоты, впрочем как и от номера моды, в выражениях (1), (2) для β отсутствует не только по отмеченным выше (см. также /1, 2/) причинам, но и потому, что при выводе (1), (2) неявно использовалось предположение о многомодовом характере распространения (см. /10/), из которого для частот вдали от критических частот мод следует вывод об инвариантности величины β .

Ситуация существенным образом изменяется при мелководном характере распространения сигналов в океаническом волноводе, когда значительные качественные и количественные отличия в поведении фазовых, а также групповых скоростей различных мод в определенном диапазоне частот не позволяют ввести разумные средние по заданной группе мод значения соответствующих величин, например, при двухмодовом режиме распространения. Как правило, в рассматриваемом диапазоне частот оказываются не только критические частоты определенного количества мод с номерами $\ell = [1, L]$, но также и частоты $\phi_s(\ell)$, на которых пересекаются зависимости групповых скоростей различных мод, что приводит к появлению в области последних

особенностей $\beta^{-1}(\varphi_s) = 0$ интерференционной структуры поля, причем, в отличие от /1, 2/, во всей области расстояний, где справедливо модовое представление поля /II/.

Изучению возможных особенностей $\beta^{-1}(\varphi) = 0$ в интерференционной структуре поля, существующих во всей области расстояний, где имеет место распространение определенного малого количества мод в мелководном океаническом волноводе, и посвящена настоящая работа.

2. ИНТЕРФЕРЕНЦИОННАЯ СТРУКТУРА ПОЛЯ НЕПРЕРЫВНОГО ШИРОКОПОЛОСНОГО ЗВУКА

Рассмотрение начнем сразу с более общего случая - плавно-неоднородного по трассе волновода, изменения акустических характеристик которого малы на максимальном пространственном периоде интерференции поля по r . Тогда, воспользовавшись адиабатическим приближением (невзаимодействующих мод) /12, 13/, с учетом /14/, для спектра $S(\omega, r)$ поля давления, возбуждаемого движущимся со скоростью v точечным источником широкополосного звука с исходным спектром излучения $S_0(\omega)$, получим простое выражение:

$$S(\omega, r) = \frac{S_0(\omega)}{\sqrt{r}} \sum_{\ell=1}^{L(\omega)} A_{\ell}(z_s, z_r, \xi_{\ell}(r)) \exp\left[i \int_0^r \xi_{\ell}(r) \left[1 - \frac{v}{c_{r\ell}(r)}\right] dr\right], \quad (3)$$

где $A_{\ell}(z_s, z_r, \xi_{\ell}(r))$ - амплитуда моды с номером ℓ , $\xi_{\ell}(r)$ - ее волновое число для волновода сравнения, $c_{r\ell}(r)$ - ее групповая скорость. Очевидно, что на плоскости частота - расстояние $(\omega - r)$ линии экстремальных значений интенсивности $J(\omega, r) = |S(\omega, r)|^2$ определяются следующими уравнениями:

$$\int_0^r [\xi_{\ell}(r) - \xi_m(r)] dr - v \int_0^r \left[\frac{\xi_{\ell}(r)}{c_{r\ell}(r)} - \frac{\xi_m(r)}{c_{rm}(r)} \right] dr = 2\pi q, \quad (4)$$

где $q = 1, 2, 3, \dots$ - порядковый номер интерференционной линии. Проинтегрировав (4) по частоте, найдем выражение, для $\frac{r}{\omega} \left(\frac{\partial \omega}{\partial r} \right) = \beta_{\ell m}$:

$$\beta_{\ell m}(\omega, r) = \left\{ \left[1 - \frac{v}{c_{\Gamma m}(r)} \right] / c_{\Phi m}(r) - \left[1 - \frac{v}{c_{\Gamma \ell}(r)} \right] / c_{\Phi \ell}(r) \right\} r / \quad (5)$$

$$\int_0^r \left\{ \left[1 - \frac{v}{c_{\Gamma \ell}(r)} + \frac{v\omega}{c_{\Gamma \ell}(r)c_{\Phi \ell}(r)} \frac{dc_{\Gamma \ell}}{d\omega} \right] / c_{\Gamma \ell}(r) - \left[1 - \frac{v}{c_{\Gamma m}(r)} + \frac{v\omega}{c_{\Gamma m}(r)c_{\Phi m}(r)} \frac{dc_{\Gamma m}}{d\omega} \right] / c_{\Gamma m}(r) \right\} dr,$$

характеризующее тангенс угла наклона этих линий, описываемых уравнением (4). Если пренебречь влиянием величины скорости движения и источника на структуру интерференционных линий, то из (5) получим более удобное для дальнейшего анализа выражение

$$\beta_{\ell m}(\omega, r) = \frac{c_{\Phi \ell}^{-1}(r) - c_{\Phi m}^{-1}(r)}{\frac{1}{r} \int_0^r [c_{\Gamma m}^{-1}(r) - c_{\Gamma \ell}^{-1}(r)] dr}, \quad (6)$$

совпадающее в случае однородного по трассе волновода с полученным в /15/ выражением для тангенса угла наклона

$$\beta_{\ell m}(\omega) = \frac{c_{\Phi \ell}^{-1} - c_{\Phi m}^{-1}}{c_{\Gamma m}^{-1} - c_{\Gamma \ell}^{-1}} \quad (7)$$

интерференционной линии, уравнение для которой в плоскости $(\omega-r)$ имеет следующий вид:

$$r_{\ell m} = \frac{\pi q}{\omega (c_{\Phi \ell}^{-1} - c_{\Phi m}^{-1})} = \frac{\pi q}{\omega \beta_{\ell m} (c_{\Gamma m}^{-1} - c_{\Gamma \ell}^{-1})}. \quad (8)$$

Заметим, что при многомодовом распространении из (6), (7) непосредственно следуют выражения для инварианта (1) и (2) соответственно. Действительно, поскольку $L(\omega) \gg 1$, то для определенной группы мод с номерами $L(\omega) - L_1(\omega) \leq l \leq L(\omega)$ при $1 \ll L_1(\omega) < L(\omega)$ фазовые скорости $C_{\varphi l}$ будут незначительно увеличиваться с ростом l , что позволяет ввести средние по этой группе мод значения C_φ и C_r , для которых выполняется приближенное соотношение (см./1, 2, 10/)

$$C_{r l}^{-1} \approx C_r^{-1} + \frac{dC_r^{-1}}{dC_\varphi^{-1}} (C_{\varphi l}^{-1} - C_\varphi^{-1}). \quad (9)$$

Используя (9), из (6), (7) легко получаем выражения (1) и (2) соответственно.

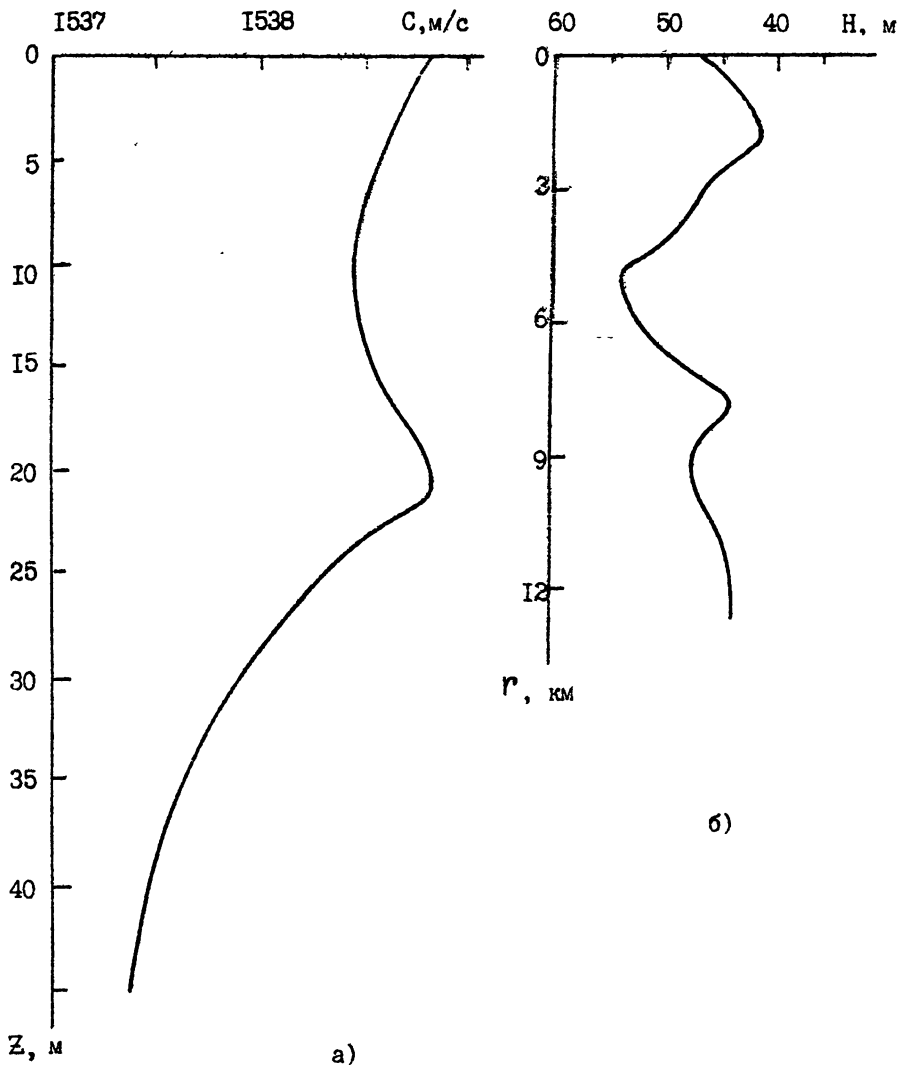
При маломодовом режиме распространения звука даже в однородных по трассе океанических волноводах величина β зависит, как следует из (7), от частоты и номера моды. Поскольку же в акустических волноводах могут пересекаться лишь частотные зависимости групповых скоростей мод, то на определенных частотах $\omega_s = 2\pi f_s(l, m)$ возможно появление особенностей $\beta^{-1}(\omega_s) = 0$ интерференционной структуры поля (см. (7)) во всей области расстояний, где существует вклад мод с номерами l и m . В неоднородных по трассе океанических волноводах величина β будет также зависеть от расстояния r (см. (5), (6)), что приведет к смещению положений частот $\omega_s(l, m)$ по определенным траекториям на плоскости $\omega - r$. Зависимости $\omega_s(r)$ при заданных l и m удобно использовать для определения, например, изменчивости акустических характеристик дна по трассе движения источника широкополосных сигналов. Естественно, что все отмеченные выше особенности в поведении интерференционной структуры поля широкополосного звука будут заметно проявляться в мелком море и в низкочастотном диапазоне.

Обратимся сначала к результатам экспериментальных исследований, выполненных в мелководном районе Мирового океана (см. рис. I), где в качестве источника широкополосных сигналов использовался дум корабля, удалявшегося со скоростью $v = 2,5$ м/с от автономной

гидроакустической донной станции, приемный гидрофон которой располагался на высоте $h \approx 6$ м от дна. Запись сигнала давления $p(t)$ во времени t осуществлялась на магнитофон с динамическим диапазоном 35 дБ. Результатом обработки являлась отнормированная зависимость интенсивности звука $J_0(\varphi, t) = \left[\int_{t_0}^{t+T} p(t) \cdot \exp(2\pi i \varphi t) dt \right]^2$ от частоты и текущего времени, которая в плотностной записи представлена на рис.2; здесь $T = 2$ с - время накопления, $t_0 = x_0 / v$, $x_0 \approx 5 \cdot 10^2 + 10^3$ м - минимальное расстояние на траверсе между корреспондирующими точками. Поведение линий $t_{em}(\varphi)$ ($r_{m\varphi}(\varphi)$) экстремальных значений $J_0(\varphi, t)$ на плоскости ($\varphi - t$) (см.рис.2) существенно отличается от описанного в /1, 2, 6, 15-18/ и экспериментально установленного в /2, 6, 19/ для условий мелкого моря. А, именно, во-первых, значения тангенса угла наклона этих линий $\alpha = \beta^{-1}$ (по отношению к оси частот) изменяются от отрицательных при $\varphi < 80$ Гц до положительных при $\varphi > 80$ Гц так, что $\alpha(\varphi = 80 \text{ Гц}) = 0$; во-вторых, во временной области $t < 6 \cdot 10^2$ с у интерференционных линий начальных номеров в диапазоне частот $\varphi > 125$ Гц наблюдается вновь заметное уменьшение их угла наклона $\alpha \rightarrow 0$.

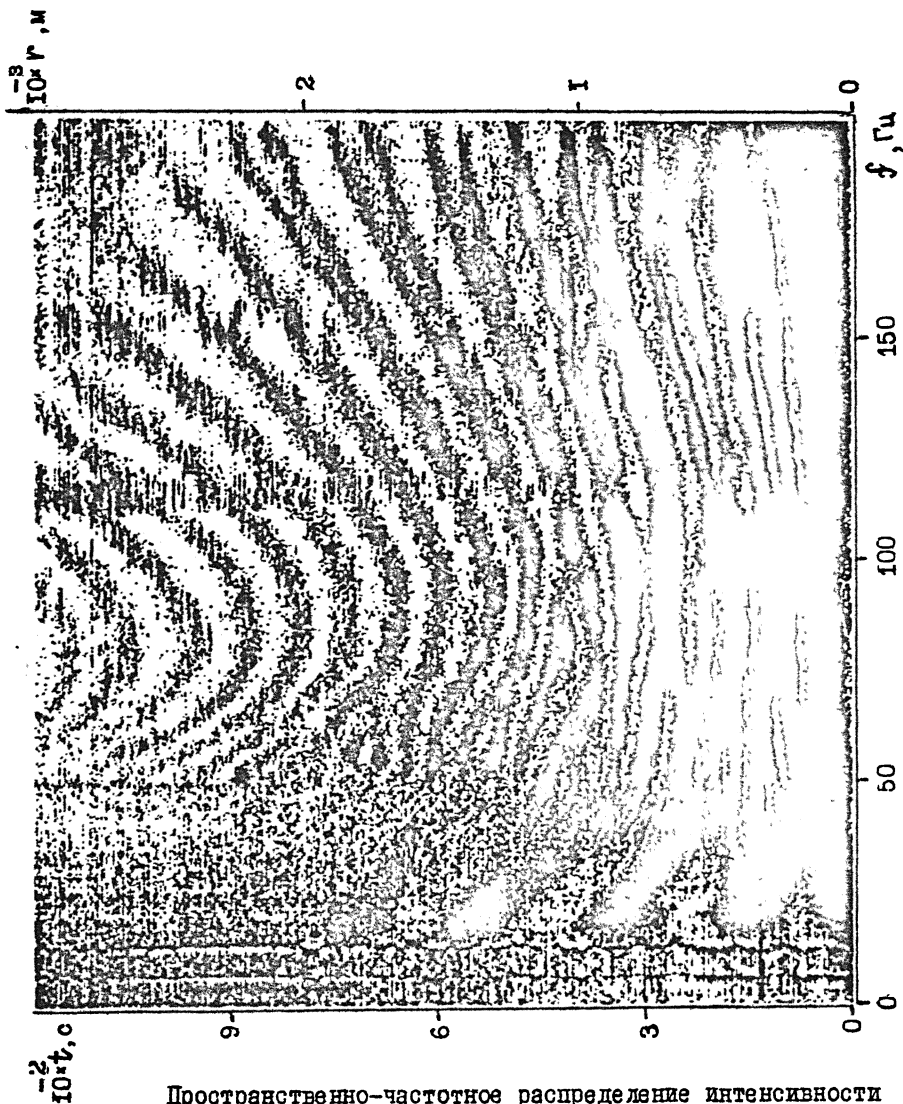
Следует также обратить внимание и на ряд других, представляющих для дальнейшего анализа интерес, закономерностей. Во-первых, во временной области $t < 5 \cdot 10^2$ с, т.е. на близких расстояниях, наблюдается довольно сложная интерференционная структура поля, характеризующаяся пересекающимися линиями $t_{em}(\varphi)$, которые создают видимость ее нерегулярности; однако при $t > 6 \cdot 10^2$ с интерференционная структура поля существенно упрощается и становится регулярной, по-видимому, вследствие затухания определенного количества мод (см. рис.2). Во-вторых, заметно выделяются критические частоты мод $\varphi_1 \approx 14,5$ Гц, $\varphi_2 \approx 35$ Гц, $\varphi_3 = 50$ Гц, ниже которых отсутствуют определенные интерференционные линии; причем в области $\varphi < \varphi_1$ интерференционная структура поля отсутствует, что указывает на существование при $\varphi < \varphi_1$ лишь одной нулевой моды критической частоты φ_0 .

Остановимся теперь на объяснении наблюдающихся в эксперименте закономерностей в поведении $J(\varphi, t)$, не претендуя в то же время на полное количественное описание всех деталей интерференционной структуры поля. Естественно, что для этого понадобятся сведе-



Р и с. I

Зависимости скорости звука $C(Z)$ от глубины Z - (а) и толщины $H(r)$ водного слоя от расстояния r - (б) в первом районе проведения экспериментальных исследований



Р и с. 2

Пространственно-частотное распределение интенсивности широкополосного звука, представленное в плотностной записи на плоскости частота - расстояние ($f - r$);
 $T = 2$ с, $Z_s = 3$ м, $Z_r = 39$ м.

ния о структуре дна океана, которые в данном случае оказались весьма скудными. Известно лишь, что в исследуемом районе присутствует, как правило, тонкий (менее 10 метров) осадочный слой алевритовой глины с плотностью $\rho_e \approx (1,6+1,9) 10^3$ кг/м³, значения скоростей продольных и сдвиговых волн в котором составляют соответственно $C_e = (1,7+1,9) 10^3$ м/с и $C_t = (6+10) 10^3$ м/с; ниже расположены коренные породы типа сланцевой глины, в которых $\rho_e = (2+3,2) 10^3$ кг/м³, $C_e = (2,7+4,8) 10^3$ м/с, $C_t = (1,5+2,4) 10^3$ м/с (см. таблицу в /20/).

Нетрудно убедиться в том, что простейшая модель волновода в виде изоскоростного водного слоя глубины H и однородного жидкого дна, скорости звука в которых C и C_2 соответственно, не позволяет даже качественно описать наблюдающиеся закономерности (см. рис. 2). Действительно, поскольку критические частоты мод в таком волноводе определяется из выражений

$$f_c = f_{oc} / \sqrt{1 - \left(\frac{C}{C_2}\right)^2}, \quad f_{oc} = \frac{C}{4H} (2l-1),$$

то при $C = 1538$ м/с и $H = 45$ м находим значения $f_{01} = 8,54$ Гц, $f_{02} = 25,63$ Гц, $f_{03} = 42,7$ Гц, использование которых не позволяет ни при каких величинах отношения C/C_2 получить теоретические значения критических частот f_1, f_2, f_3 , одновременно согласующиеся с соответствующими экспериментальными данными, а тем более объяснить наличие нулевой моды.

Наличие жидкого осадочного слоя толщины h со скоростью звука C_1 и плотностью среды в нем ρ_1 изменит значения критических частот мод, определяемых из следующего уравнения (см./21/):

$$\operatorname{tg} \left[\frac{2\pi f_c H}{C} \sqrt{1 - \left(\frac{C}{C_2}\right)^2} \right] \operatorname{tg} \left[\frac{2\pi f_c h}{C_1} \sqrt{1 - \left(\frac{C_1}{C_2}\right)^2} \right] = \frac{\rho_1}{\rho} \sqrt{\frac{1 - (C/C_2)^2}{1 - (C_1/C_2)^2}},$$

где ρ - плотность среды в верхнем изоскоростном водном слое. Однако при $h \approx 10$ м и значениях $C_1 \approx (1,7+1,9) 10^3$ м/с, $\rho_1 = (1,6+1,9) 10^3$ кг/м³, $C_2 = (2,7+4,8) 10^3$ м/с, выбранных согласно приведенным выше данным для грунта, отличия значений крити-

ческих частот f_1 , f_2 и f_3 от соответствующих значений, следующих из модели однородного жидкого дна, составляют менее 10% и, поэтому, модель слоистого жидкого дна также не позволяет объяснить экспериментальные данные для f_1 , f_2 , f_3 .

Другой простейшей моделью дна, которая, в отличие от первых двух, позволяет правильно описать все особенности интерференционной структуры (см. рис. 2), является упругое полупространство с эффективными акустическими характеристиками ρ_e , c_t , c_e , выбираемыми из всего указанного диапазона этих параметров. В этом случае дисперсионное уравнение для фазовых скоростей мод имеет следующий вид /22, 23/:

$$\sqrt{v_e^2 - 1} \left[(2 - b^2 v_e^2)^2 - 4 \sqrt{(1 - a^2 v_e^2)(1 - b^2 v_e^2)} \right] +$$

$$+ R b^4 v_e^4 \sqrt{1 - a^2 v_e^2} \operatorname{tg} \left(\frac{2\pi f H}{c} \frac{\sqrt{v_e^2 - 1}}{v_e} \right) = 0, \quad (10)$$

где $R = \rho / \rho_e$, $a = c / c_e$, $b = c / c_t$, $v_e = c_{\varphi e} / c$. Критические частоты мод с номерами $\ell = 1, 2, \dots$ находятся из следующего выражения /22, 23/:

$$f_\ell = \frac{c}{2H} \left[\ell - \frac{1}{\pi} \operatorname{arctg} \left(\sqrt{b^{-2} - 1} / R \sqrt{1 - a^2} \right) \right] / \sqrt{1 - b^2}. \quad (11)$$

Кроме того известно (см. /23, 24/), что уравнение (10) допускает решение для нулевой - фундаментальной моды v_0 , критическая частота которой $f_0 = 0$. На низких частотах $H f / c \ll 1$ фазовая скорость этой моды стремится к скорости волны Релея C_R в упругом полупространстве ($C_{\varphi 0} (f = 0) = C_R$ /23/), т.к. из (10) при $H f / c \rightarrow 0$ находим уравнение Релея (см. /7, 23/):

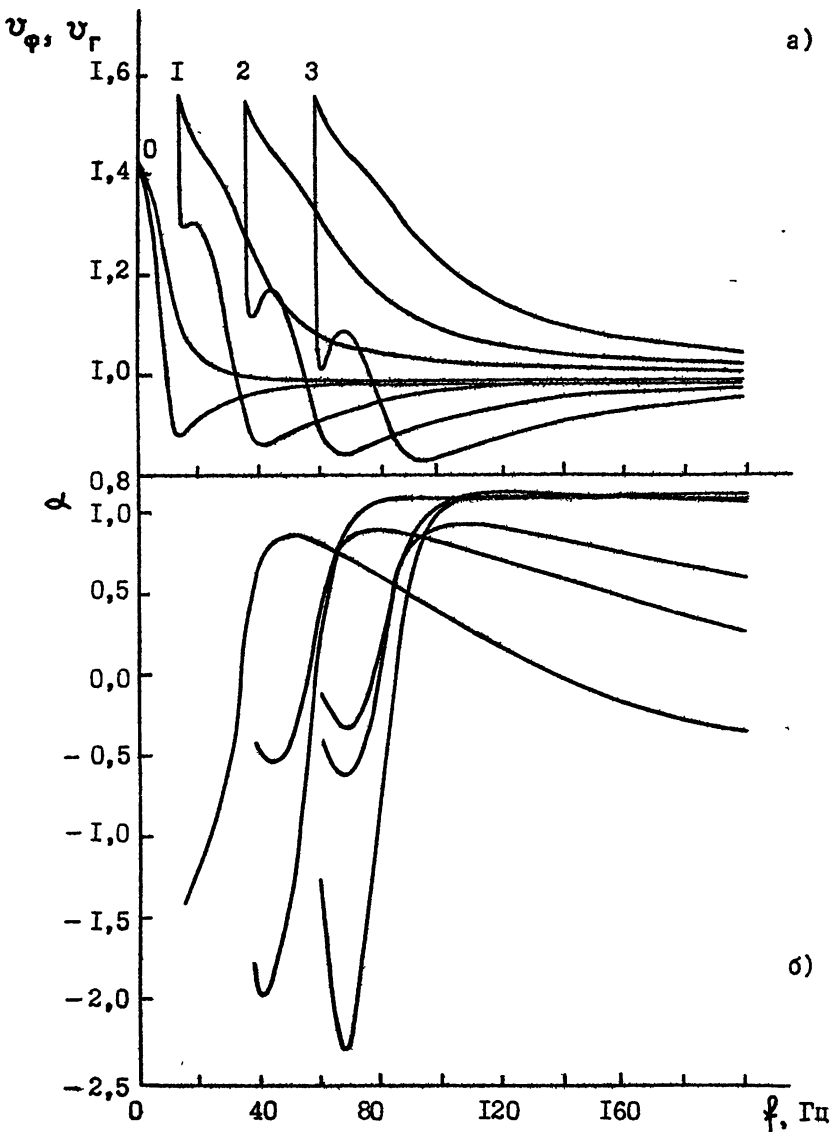
$$(2 - b^2 v_0^2)^2 - 4 \sqrt{(1 - a^2 v_0^2)(1 - b^2 v_0^2)} = 0; \quad (12)$$

на высоких же частотах $\omega/c \rightarrow \infty$ фазовая скорость этой моды стремится к скорости волны Стоунли (Шолта) $C_s < C$ на границе раздела жидкого и твердого полупространств $C_{\Phi 0}(\omega \rightarrow \infty) \rightarrow C_s$, а не к скорости звука C в водном слое (как это отмечалось в /24/), т.к. при $v_0 < 1$ и $\omega/c \rightarrow \infty$ из (10) получаем уравнение Стоунли /7/:

$$\sqrt{1 - v_0^2} \left[(2 - b^2 v_0^2)^2 - 4 \sqrt{(1 - a^2 v_0^2)(1 - b^2 v_0^2)} \right] + R b^4 v_0^4 \sqrt{1 - a^2 v_0^2} = 0. \quad (13)$$

Здесь отметим, что исследованная в /25/ нулевая комплексная мода (соответствующее решение уравнения (10)) есть не что иное, как вытекающая волна Релея, поскольку подобное решение следует из уравнения, аналогичного (13) при формальном предположении $v_0 > 1$ (см. /7/), и, которое лишь видоизменяется при замене жидкого полупространства слоем. Нулевая комплексная мода становится поверхностной волной при $C_t < C$ /23/, вытекающей же становится волна Стоунли (см. (13)), а следовательно и соответствующее ей решение уравнения (10) является комплексным (см. ниже п.3). Одновременно непериодические в определенном диапазоне частот поверхностные волны Релея и Стоунли распространяются лишь вдоль границы раздела Земля - Атмосфера /26/.

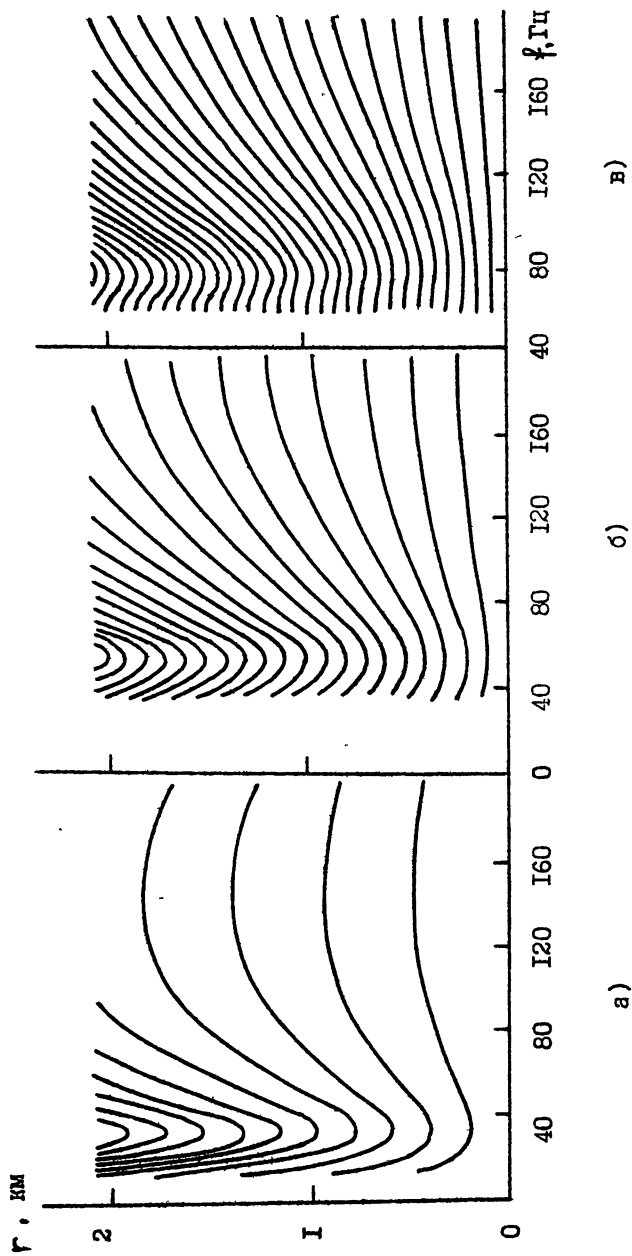
Необходимые для дальнейшего анализа значения эффективных параметров $C_e = 4 \cdot 10^3$ м/с, $C_t = 2,4 \cdot 10^3$ м/с и $\rho_e = 3 \cdot 10^3$ кг/м³ выбирались при $C = 1538$ м/с и $\rho = 10^3$ кг/м³ из условия наилучшего совпадения получаемых из (II) теоретических значений критических частот $f_1 = 14$ Гц, $f_2 = 35$ Гц и $f_3 = 57$ Гц с соответствующими экспериментальными $f_1 = 14,5$ Гц, $f_2 = 35$ Гц и $f_3 = 50$ Гц. Отметим, что столь значительные величины акустических параметров дна присущи тем мелководным районам Мирового океана, в которых наблюдается выход коренных пород, вследствие чего осадочный слой практически отсутствует (см., например, /27/). Из приведенных на рис.3 результатов расчета фазовых $C_{\Phi e}(f)$ и групповых $C_{ge}(f)$ скоростей, а также тангенса угла наклона $\alpha(f) = \beta^{-1}(f)$ экст -

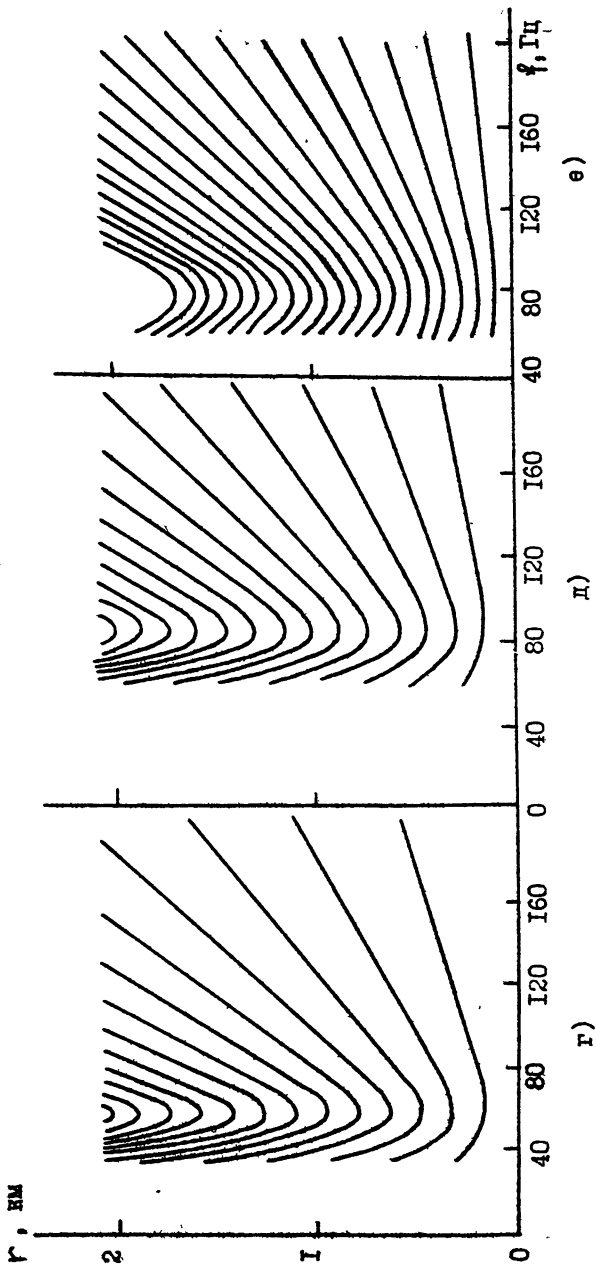


Р и с. 3 Теоретические зависимости от частоты f фазовых $v_\varphi = c_{\text{эф}}/c$ и групповых $v_\gamma = c_{\text{гр}}/c$ скоростей мод с номерами $l = 0, 1, 2, 3$ - (а) и также тангенса угла наклона $\alpha(f) = \beta^{-1}(f)$ соответствующих этим модам интерференционных линий - (б)

ремальных линий для четырех мод $\ell = 0, 1, 2, 3$ при найденных значениях параметров C_e , C_t и β_e следует, что должны наблюдаться: во-первых, особенности $\alpha(\ell) = \beta^{-1}(\ell) = 0$ в диапазонах частот $f_s = 32$ Гц, $f_s = 55+60$ Гц и $f_s = 78+83$ Гц, в которых имеют место пересечения частотных зависимостей групповых скоростей соответствующих мод; во-вторых, интерференционные линии в основном с отрицательными наклонами $\alpha(\ell) < 0$ при $f < 80$ Гц, а - с положительными при $f > 80$ Гц, причем некоторые из них с уменьшающимися значениями $\alpha(\ell)$ с ростом частоты, обусловлены интерференцией мод $\ell = 1, 2, 3$ с нулевой модой $\ell = 0$. Нетрудно также убедиться, что существование различных асимптотик для групповых скоростей мод $u_{\ell 0} \rightarrow C_s$ и $u_{\ell e} \rightarrow C$ ($\ell \geq 1$) при $fH/C \rightarrow \infty$ приводит к двукратному пересечению зависимостей $C_{r0}(\ell)$ с $C_{re}(\ell)$ ($\ell \geq 1$) и, тем самым, к увеличению особенностей $\beta(\ell)$ (см. рис. 3).

Сказанное хорошо иллюстрирует приведенные на рис. 4 интерференционные линии, рассчитанные в рамках используемой модели волновода по формуле (8) и качественно согласующиеся с экспериментальными данными (см. рис. 2). Естественно, что для получения полной интерференционной структуры поля, аналогичной экспериментальной (см. рис. 2), необходимо построить все интерференционные линии (см. рис. 4) на одной плоскости $f - r$ с учетом амплитуд, фаз и затухания соответствующих им мод, однако здесь это не делается в связи со сложным количественным учетом последнего фактора. По-видимому, именно сложная частотная зависимость затухания, вследствие рассеяния энергии волн на неоднородностях подводного грунта и неровностях рельефа дна, и в первую очередь фундаментальной моды (см. /28, 29/), приводит к тому, что: во-первых, предсказываемые теорией особенности $\beta(\ell)$ на частотах $f_s \approx 32$ Гц, $f_s \approx 60$ Гц, и $f_s = 136$ Гц не просматриваются на экспериментальных зависимостях $J(\ell, t)$ вследствие повышенного затухания звука в диапазонах частот $f < 60$ Гц и $f > 120$ Гц (см. рис. 2); во-вторых, в эксперименте интерференционная структура поля становится регулярной при $t > 6 \cdot 10^2$ с, поскольку характеризуется на плоскости $f - t$ интерференционными линиями, обусловленными обилием пары мод $\ell = 2$ и





Р и с. 4. Интерференционные линии, рассчитанные с использованием теоретических зависимостей от частоты фазовых и групповых скоростей мод и хвостате-ризирующие поведение максимальных значений интенсивности широкополосно го звука на плоскости частота - расстояние ($f - r$):

а) $l = 0, 1,$ б) $l = 0, 2,$ в) $l = 0, 3,$

г) $l = 1, 2,$ д) $l = 2, 3,$ е) $l = 1, 3.$

$l = 3$. Поэтому кажущаяся нерегулярность интерференционной структуры поля, приведенной на рис.2 при $t < 6 \cdot 10^{-2}$ с, а также в $l/19$ для определенного диапазона частот и области расстояний обусловлена существованием на начальном этапе распространения определенного значительного числа мод, соответствующие интерференционные линии для которых пересекаются, уменьшающегося с ростом расстояния между корреспондирующими точками из-за затухания; следствием этого является изменяющаяся структура интерференционных линий на малых расстояниях.

Таким образом, выполненные исследования пространственно-частотного распределения интенсивности широкополосного звука в мелком море показали, что в поведении линий экстремальных значений это и величины на плоскости частота - дистанция наблюдаются особенности, проявляющиеся в смене знака тангенса угла наклона линий на частотах, соответствующих пересечениям частотных зависимостей групповых скоростей мод; причем обнаружено, что существенный вклад в отмеченный эффект вносят сейсмические волны.

3. ИНТЕРФЕРЕНЦИОННАЯ СТРУКТУРА ПОЛЯ ШИРОКОПОЛОСНЫХ ИМПУЛЬСНЫХ СИГНАЛОВ

С использованием широкополосных импульсных сигналов исследования интерференционных эффектов в океанических волноводах можно проводить двояким образом: во-первых, на основе изучения получаемой при "скользящем" спектральном анализе импульсного сигнала частотной зависимости времени его распространения $t(f)$, позволяющего получать информацию о дисперсионных характеристиках среды, т.е. о модовом составе сигнала и частотной зависимости групповых скоростей мод (см./30-35/); во-вторых, как и для непрерывного широкополосного звука (см.п.2), с применением интерференционного метода, когда спектры широкополосных импульсных сигналов, периодически излучаемых по трассе движения источника через определенный временной интервал, превышающий максимальное время звучания импульса в исследуемой области расстояний, отображаются на плоскости частота - дистанция с целью получения структуры интерферен-

ционных линий (см./19, 36/).

Воспользуемся сначала первым методом, поскольку в том же районе, где проводились экспериментальные исследования с непрерывным источником широкополосного звука (см.рис.1, 2), было произведено излучение импульсных сигналов всего лишь на трех различных расстояниях от приемной системы (см.ниже), причем начнем с теоретического анализа процедуры получения зависимостей $t(\varphi)$.

Для получения зависимости $t(\varphi)$ используется "скользящий" спектральный анализ

$$S(t, \omega, T) = \left| \int_{t-T/2}^{t+T/2} p(t) e^{i\omega t} dt \right|^2 \quad (I4)$$

временной зависимости давления в импульсном сигнале, которая в приближении нормальных волн (мод) представляется в следующем виде/37/:

$$p(t) = \frac{1}{\sqrt{r}} \int_0^{\infty} \sum_{\ell=0}^{L(\omega)} S_0(\omega) A_{\ell} [z_s, z_r, \xi_{\ell}(r)] e^{i \left[\int_0^r \xi_{\ell}(r) dr - \omega t \right]} d\omega + \text{к.с.} \quad (I5)$$

Выполняя элементарное интегрирование в (I4), с использованием (I5) получаем

$$S(t, \omega, T) = \left| \frac{e^{i\omega t}}{\sqrt{r}} \int_0^{\infty} S_0(\omega') \sum_{\ell=0}^{L(\omega')} A_{\ell} [z_s, z_r, \xi'_{\ell}(r)] \times \right. \\ \left. \times \frac{\sin \left[\frac{T}{2} (\omega' - \omega) \right]}{\omega' - \omega} \exp \left\{ -i \left[\omega' t - \int_0^r \xi'_{\ell}(r) dr \right] \right\} d\omega' + \text{к.с.} \right|^2 \quad (I6)$$

где $\xi'_{\ell}(r)$ - плавно меняющееся с расстоянием волновое число соответствующей моды, зависящее и от ω' . Интегрирование в (I6) по ω' можно выполнить приближенно, используя метод стационарной фазы

/7, 33, 37/. Точки стационарной фазы ω_{qe} ($q = [1, Q]$) для каждой моды найдутся из уравнения

$$C_{re}(r) = r/t,$$

$$C_{re}(r) = \frac{d\omega}{d\bar{\xi}_e(r)}, \quad \bar{\xi}_e(r) = \frac{1}{r} \int_0^r \xi'_e(r) dr.$$

При этом, для правильной оценки интеграла в (I6) необходимо, чтобы функция $S_0(\omega') A_e [z_s, z_r, \xi'_e(r)]$ достаточно плавно изменялась в области частот $\Delta\omega' = \omega' - \omega_{qe} > \delta_e = \left(\frac{r}{2} \left| \frac{d^2 \bar{\xi}_e}{d\omega'^2} \right| \omega_{qe} \right)^{-1/2}$. Наличие в подынтегральной функции множителя $\sinh[(T/2)(\omega' - \omega_{qe})]/(\omega' - \omega_{qe})$ также накладывает дополнительные ограничения, однако если интересоваться областью частот $\Delta\omega = \omega - \omega_{qe} < 2\pi/T$, то правильность оценки интеграла (I6) методом стационарной фазы будет обеспечена для $\Delta\omega' > 2\pi/T > (1+e^{-1})\delta_e$ при условии, что ширина функции $\sinh\left[\frac{T}{2}(\omega' - \omega_{qe})\right]/\left[\frac{T}{2}(\omega' - \omega_{qe})\right]$ определяется по уровню e^{-1} . С учетом отмеченных ограничений из (I6) находим

$$S(t, \omega, T) = \left| \sum_{l=0}^{L\left(\frac{2\pi}{T} + \omega_*\right)} S_e(t, \omega, T) \right|^2, \quad (I7)$$

$$S_e(t, \omega, T) = \frac{i}{2} \sqrt{\frac{\pi}{r}} \sum_{q=1}^Q \delta_e(\omega_{qe}) S_0(\omega_{qe}) A_e [z_s, z_r, \xi_e(r, \omega_{qe})] \times$$

$$\times \frac{\sinh\left[\frac{T}{2}(\omega - \omega_{qe})\right]}{\omega - \omega_{qe}} \exp\left(-i \frac{\pi}{4} \operatorname{sgn}\left\{\frac{d^2 \bar{\xi}_e}{d\omega^2}\right\}\right) \exp\left\{i \left[\bar{\xi}_e(r, \omega_{qe}) r - (\omega_{qe} - \omega)t\right]\right\} + \text{к.с.},$$

где ω_* - максимальное значение из всех имеющих место значений

ω_{qe} , для которых выполняется условие $\omega - \omega_{qe} < 2\pi/T$.

Таким образом, из (I7), (I8) следует, что на плоскости $\omega - t$ можно построить ряд кривых $t(\omega) = r/c_{re}(r, \omega)$ ($\ell = [0, L]$) с соответствующими изменениями величин $S_\ell(t, \omega, T)$ вдоль них.

Вблизи частот $\omega = \Omega_{pe}$ ($\rho = [1, P]$), где групповые скорости мод достигают экстремальных значений $d^2 \bar{\xi}_\ell / d\omega^2 |_{\omega = \Omega_{pe}} = 0$ (минимальных при $d^3 \bar{\xi}_\ell / d\omega^3 |_{\omega = \Omega_{pe}} < 0$ и максимальных при $d^3 \bar{\xi}_\ell / d\omega^3 |_{\omega = \Omega_{pe}} > 0$), из (I6), используя разложение в показателе экспоненты по степеням $\omega - \Omega_{pe}$ с точностью до членов третьего порядка малости (см./7/), получим для $S(t, \omega, T)$ аналогичное (I7) выражение, в котором $S_\ell(t, \omega, T)$ имеет следующий вид:

$$S_\ell(t, \omega, T) = 2 \sqrt{\frac{\pi}{r}} \sum_{\rho=1}^P S_0(\Omega_{pe}) A_\ell [z_s, z_r, \bar{\xi}_\ell(r, \Omega_{pe})] \times \quad (I9)$$

$$\times \frac{\sin \left[\frac{T}{2} (\omega - \Omega_{pe}) \right] v(y_{pe}) \cos \left[\bar{\xi}_\ell(r, \Omega_{pe}) r - (\Omega_{pe} - \omega)t + \varphi(\Omega_{pe}) \right]}{\omega - \Omega_{pe} \left[-\frac{r}{2} \left(\frac{d^3 \bar{\xi}_\ell}{d\omega^3} \right) \Big|_{\omega = \Omega_{pe}} \right]^{1/3}},$$

где $v(y_{pe})$ - функция Эйри (см./7/), $y_{pe} = [t - r/c_{re}(r, \Omega_{pe})] \times \left[-\frac{r}{2} \left(\frac{d^3 \bar{\xi}_\ell}{d\omega^3} \right) \Big|_{\omega = \Omega_{pe}} \right]^{-1/3}$, $\varphi(\Omega_{pe}) = \arctg \left[\text{Im}\{S_0(\Omega_{pe})\} / \text{Re}\{S_0(\Omega_{pe})\} \right]$.

Остановимся кратко на некоторых качественных отличиях в поведении спектральных амплитуд соответствующих мод $S_\ell(t, \omega, T)$, описываемых выражениями (I8) и (I9), для однородных по трассе волноводов. Из (I8) следует, что время звучания импульса моды номера ℓ ($\omega \approx \omega_{qe}(t)$) увеличивается пропорционально расстоянию $t_\ell = r/c_{re}(\omega_{qe})$, а его амплитуда спадает обратно пропорционально расстоянию $\max \{ |S_\ell(t, \omega, T)| \} \propto r^{-1}$. В (I9), поскольку Ω_{pe} не зависит от r и t , изменения времени звучания и амплитуды импульса соответствующей моды ($\omega \approx \Omega_{pe}$) целиком определяются

поведением функции Эйри, которая, как известно (см./7/), является осциллирующей при $\chi_{pe} < 0$ и экспоненциально спадающей при $\chi_{pe} > 0$, причем ее максимальное значение $\max \{v(\chi_{pe})\} = 0,95$ имеет место при $\chi_{pe} = -1,02$. Поэтому из (19) следует, что вблизи экстремальных для C_{re} значений спектральная амплитуда импульса моды спадает с расстоянием чуть медленнее $\max \{|S_e(t, \Omega_{pe}, T)|\} \sim r^{-5/6}$, а соответствующая временная область ($|\chi_{pe}| \approx 1$) повышенных значений $S_e(t, \Omega_{pe}, T)$ расширяется существенно медленнее (чем в первом случае (см. (18)):

$$\left| t - \frac{r}{C_{re}(\Omega_{pe})} \right| \approx \left| \frac{1}{2} \left(\frac{d^3 \xi_e}{d\omega^3} \right) \right|_{\omega = \Omega_{pe}} r^{1/3}.$$

Как уже отмечалось выше, выражения (18) и (19) получены при условиях $\omega - \omega_{qe} < 2\pi/T$ и $\omega - \Omega_{pe} < 2\pi/T$ соответственно. Поэтому с уменьшением T они будут давать более точную оценку интеграла (16), кроме того, будет улучшаться разрешение по t мод с номерами l и m , разность времен распространения которых удовлетворяет условию $r(C_{re}^{-1} - C_{rm}^{-1}) > T$. Однако одновременно с этим будет ухудшаться разрешение мод по частоте ($\Delta f \approx \frac{1}{T}$) и уменьшаться соответствующие им спектральные амплитуды $S_e(t, \omega, T)$, что, в конечном счете, затруднит идентификацию мод на плоскости $\omega - t$, хотя общая тенденция в поведении $t(\omega)$ может и просматриваться (см./1/). С увеличением T разрешение мод по частоте будет повышаться, однако их идентификация на плоскости $\omega - t$ будет затрудняться вследствие уменьшения разрешения по t .

При больших T , когда величина интеграла в (16) определяется в основном поведением функции $\sin \left[\frac{T}{2}(\omega' - \omega) \right] / (\omega' - \omega)$, раскладывая показатель экспоненты по степеням $\omega - \omega'$ и проводя интегрирование аналогично (18) и (19), получаем для $S_e(t, \omega, T)$ следующие выражения:

$$S_e(t, \omega, T) = S_0(\omega) A_e[z_s, z_r, \xi_e] \frac{e^{i\xi_e r}}{\sqrt{r}} B_e(t, \omega, r) + \text{к.с.}, \quad (20)$$

$$B_{\xi}(t, \omega, T) = \begin{cases} \frac{\pi}{2\sqrt{2}} e^{i\frac{\pi}{4}s} [F(\eta_1) - F(\eta_2)] + \sqrt{\frac{\pi}{2}} \int_0^{\eta_2} e^{-isx^2} F(\eta_0 + x) dx - \\ - \int_0^{\eta_1} e^{-isx^2} F^*(\eta_0 + x) dx, & \frac{d^2 \xi_e}{d\omega^2} \neq 0 \quad (2I) \\ \pi [V(\zeta_1) - V(\zeta_2)], & \frac{d^2 \xi_e}{d\omega^2} = 0, \quad \zeta_0 \ll -1, \end{cases}$$

где $F(\eta) = \sqrt{\frac{2}{\pi}} \int_0^{\eta} e^{-isx^2} dx$ - интеграл Френеля (см./7/),

$$s = \operatorname{sgn} \left\{ \frac{d^2 \xi_e}{d\omega^2} \right\}, \quad \eta_1 = (r/c_{re} - t + \frac{T}{2}) / \sqrt{2 \left| \frac{d^2 \xi_e}{d\omega^2} \right|} r,$$

$$\eta_2 = \eta_1 - T / \sqrt{2 \left| \frac{d^2 \xi_e}{d\omega^2} \right|} r, \quad \eta_0 = -\omega \sqrt{\frac{r}{2} \left| \frac{d^2 \xi_e}{d\omega^2} \right|};$$

$$V(\zeta) = \int_0^{\zeta} v(x) dx, \quad \zeta_1 = (r/c_{re} - t + \frac{T}{2}) / \left(\frac{r}{2} \frac{d^3 \xi_e}{d\omega^3} \right)^{1/3},$$

$$\zeta_2 = \zeta_1 - T / \left(\frac{r}{2} \frac{d^3 \xi_e}{d\omega^3} \right)^{1/3}, \quad \zeta_0 = -\omega \left(\frac{r}{2} \frac{d^3 \xi_e}{d\omega^3} \right)^{1/3}$$

Используя асимптотические представления $F(\eta)$ и $V(\zeta)$, из (2I) нетрудно получить соответствующие выражения в элементарных функциях при $\eta_2 \ll I$ ($\zeta_2 \ll I$) и $\eta_2 \gg I$ ($\zeta_2 \gg I$):

$$B_{\xi}(t, \omega, r) = \begin{cases} \frac{\pi}{\sqrt{2}} e^{i\frac{\pi}{4}} \left[\eta_1 - \eta_2 + \frac{\pi}{6} (\eta_1^3 - \eta_2^3) \right], & \eta_0 \ll -1, \eta_2 \ll -1, \\ \frac{e^{-is\frac{\pi}{2}}}{\pi} \left(\frac{e^{-is\frac{\pi}{2}\eta_2^2}}{\eta_2} - \frac{e^{-is\frac{\pi}{2}\eta_1^2}}{\eta_1} \right), & |\eta_0| \gg \eta_2, \eta_2 \gg 1, \\ \frac{e^{-is\frac{\pi}{2}}}{\sqrt{2\pi}(\pi-2)} \left[\frac{e^{-is(\frac{\pi}{2}-1)\eta_1^2}}{\eta_1^2} - \frac{e^{-is(\frac{\pi}{2}-1)\eta_2^2}}{\eta_2^2} \right], & |\eta_0| \ll \eta_2, \eta_2 \gg 1, \end{cases} \quad (22)$$

$$B_{\ell}(t, \omega, r) = \begin{cases} \frac{\pi T}{\left(\frac{r}{2} \frac{d^3 \xi_{\ell}}{d\omega^3}\right)^{1/3}} \left[a_1 - a_2 \frac{r}{c_{r\ell}} - t \right] \left(\frac{r}{2} \frac{d^3 \xi_{\ell}}{d\omega^3}\right)^{1/3}, & \zeta_0 \ll -1, \zeta_2 \ll 1, \\ \frac{\sqrt{\pi}}{2} \left(\frac{e^{-\frac{2}{3} \zeta_2^{3/2}}}{\zeta_2^{3/4}} - \frac{e^{-\frac{2}{3} \zeta_1^{3/2}}}{\zeta_1^{3/4}} \right), & \zeta_0 \ll -1, \zeta_2 \gg 1, \end{cases} \quad (23)$$

где $a_1 = 3^{-2/3} / \Gamma(2/3)$ и $a_2 = 3^{-1/3} / \Gamma(1/3)$ константы, определяющиеся значениями функции Эйри и ее производной при нулевом значении аргумента $a_1 = \psi(x=0)$, $a_2 = -du/dx|_{x=0}$. Из (20)–(23) следует, что при больших значениях T моды не разделяются по временам распространения.

Проведенный анализ выражений (17)–(19) и (20)–(23) позволяет заключить, что разрешение мод на плоскости $\omega - t$, т.е. отделение каждой последующей $\ell + 1$ от предыдущей ℓ моды, возможно лишь при выполнении следующих условий:

$$r \left| \frac{1}{c_{r\ell}(\omega)} - \frac{1}{c_{r\ell+1}(\omega)} \right| > T, \quad (24)$$

$$\left| \omega_{q\ell}(t) - \omega_{q\ell+1}(t) \right| > \frac{2\pi}{T}.$$

Очевидно, что для каждого типа океанического волновода возможен оптимальный выбор значения $T = T_{\text{opt}}$, удовлетворяющего условиям (24). Как известно (см. /31–35/), дисперсионные свойства глубоководных океанических волноводов на значительных расстояниях определяются в основном зависимостью скорости звука $c(z)$ от глубины z . Поскольку же время распространения широкополосных импульсных сигналов в таких волноводах увеличивается, как правило (см. /31–35/), с ростом частоты, то для оценки T_{opt} можно воспользоваться простейшей моделью приповерхностного звукового канала с линейной

зависимостью квадрата показателя преломления $n^2(z) = 1 - \alpha z$ (см./35). Тогда, используя выражение для групповой скорости моды, полученное в приближении ВКБ (см./35/), находим выражение

$$T_{opt} \approx \frac{r}{c} \left(\frac{3\alpha\pi c}{\omega} \right)^{2/3} \ell^{-1/3}, \quad (25)$$

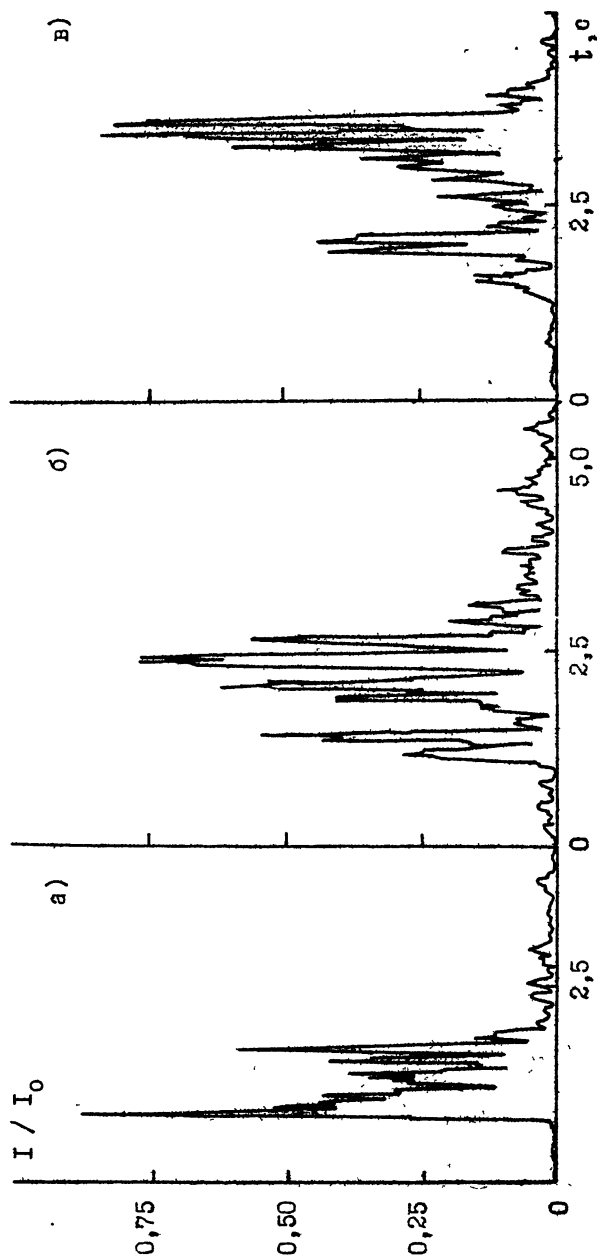
справедливое на частотах вдали от критических $(3\pi\alpha c \ell / \omega)^{2/3} \ll 1$; здесь $c = c(z=0)$, $\ell \gg 1$. Дисперсионные же свойства в представляющих здесь интерес мелководных океанических волноводах определяются границами раздела сред (см./30, 35/). Время распространения широкополосных импульсных сигналов в мелком море на значительных расстояниях уменьшается, как правило (см./30, 35/), с ростом частоты, лишь на относительно низких и высоких частотах возможно проявление дисперсии, характерной для глубоководных волноводов, что обусловлено влиянием соответственно грунтовых волн (см./21/) и приповерхностного звукового канала (см./30/) на формирование поля. В данном случае, имея в виду свой для каждого волновода средний диапазон частот, воспользуемся для оценки T_{opt} моделью изоскоростного водного слоя с абсолютно жестким дном (см./35/). В этом приближении на частотах вдали от критических имеем

$$T_{opt} \approx \frac{r}{c} \left(\frac{\pi c}{\omega H} \right)^2 \ell, \quad (26)$$

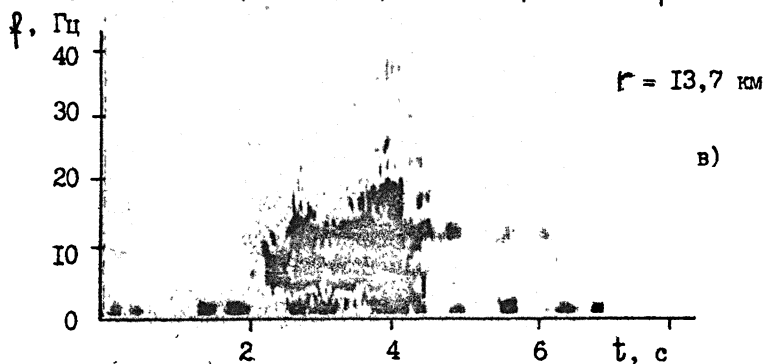
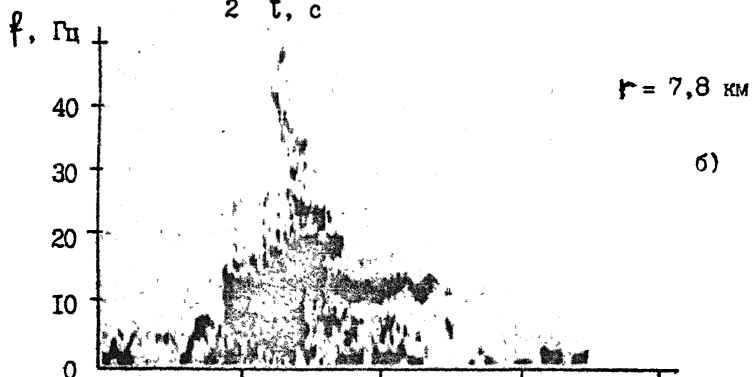
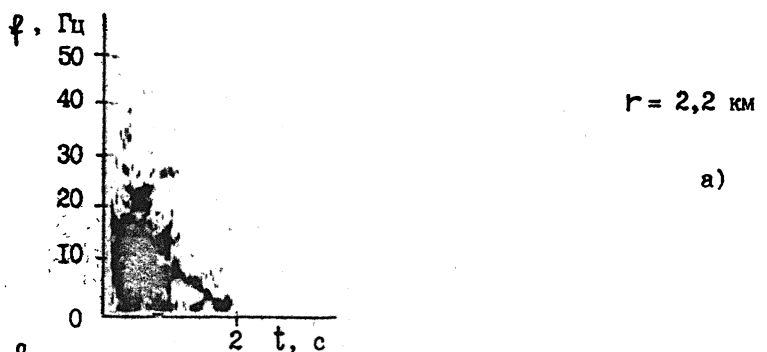
где $\pi c (\ell - \frac{1}{2}) / \omega H \ll 1$. Из сравнения выражений (25) и (26) следует, что на определенном расстоянии r для разрешения в частотном диапазоне $\omega < \omega_{max}$ всех $L(\omega_{max})$ мод достаточно в обоих типах волноводов выбрать соответствующие минимальные значения T_{opt} : в мелководном $T_{opt} \approx \frac{r}{c} (\pi c / H \omega_{max})^2$, характерное для пары низших мод (см.(26)), в глубоководном $T_{opt} \approx \frac{r}{c} \left(\frac{3\pi\alpha c}{\omega_{max}} \right)^{2/3} L^{-1/3}(\omega_{max})$, характерное для пары высших мод (см.(25)). Здесь отметим, что, во-первых, как следует из условий (24), моды не разрешаются лишь на частотах $\omega_{qe} = \omega_{qm} = \omega_s$, на которых имеют мес-

то пересечения соответствующие им частотные зависимости групповых скоростей $c_{гг}(\omega_s) = c_{гг}(\omega_s) (\beta(\omega_s) = 0)$, а не на частотах $\omega = \Omega_{рл}$, как утверждалось в /38/, на которых достигаются экстремальные значения частотных зависимостей групповых скоростей мод $d^2\xi_c/d\omega^2|_{\omega=\Omega_{рл}} = 0$, во-вторых, при получении (24) предполагалась малость длительности τ исходного широкополосного импульсного сигнала по сравнению с длительностью T реализации $p(t)$ при "скользящем" спектральном анализе (14), поскольку для обычно используемых в исследовательских целях сигналов взрывного типа $\tau < 0,1$ с (см./30-35/).

Обратимся теперь к анализу экспериментальных данных, полученных при использовании в качестве источника сигналов взрывного типа пневматической пушки с рабочим объемом $V_0 = 15$ л. Излучение импульсных сигналов в том же районе (см.рис.1) производилось на глубине $Z_s \approx 12$ м и всего лишь на трех определенных расстояниях: $r = 2,2$ км, $r = 7,8$ км и $r = 13,7$ км от автономной сейсмической донной станции, приемное устройство которой располагалось на высоте $h \approx 2$ м от грунта и регистрировало сигналы давления в низкочастотном диапазоне $f < 80$ Гц. Из приведенных на рис.5 зависимостей интегральных уровней сигналов $I(t) = \frac{1}{T} \times \int_t^{t+\tau} p^2(t) dt$, которые являются характерными на малых, средних и больших расстояниях, видны существенные изменения временной формы импульсов давления с ростом расстояния, обусловленные их дисперсионным распылением и затуханием при распространении. Анализ соответствующих спектрограмм (см.рис.6) показал следующее. Во-первых, на частотах ниже критической частоты для первой моды $f < 14$ Гц существует сигнал, который можно отождествлять с импульсом фундаментальной моды. Во-вторых, в диапазоне частот $f < 14$ Гц наблюдается наиболее заметное дисперсионное распыление сигнала, которое объясняется, по-видимому, существенными изменениями групповой скорости фундаментальной моды (до 70%) в диапазоне частот $0 < f \approx 16$ Гц, а также заметными изменениями групповой скорости первой моды (до 20%) и значительной разницей (до 90%) в величинах групповых скоростей этих двух мод в достаточно узком диа-



Р и с. 5. Экспериментальные зависимости от времени t интегральных уровней $I(t)$ импульсных сигналов давления, принятых гидрофоном сейсмической автономной донной станции на расстояниях $r = 2,2$ км (а), $r = 7,8$ км (б), $r = 13,7$ км (в); $T = 0,09$ с, $Z_S = 10-12$ м, $Z_r \approx 43$ м, $I_0 = 5 B^2$.

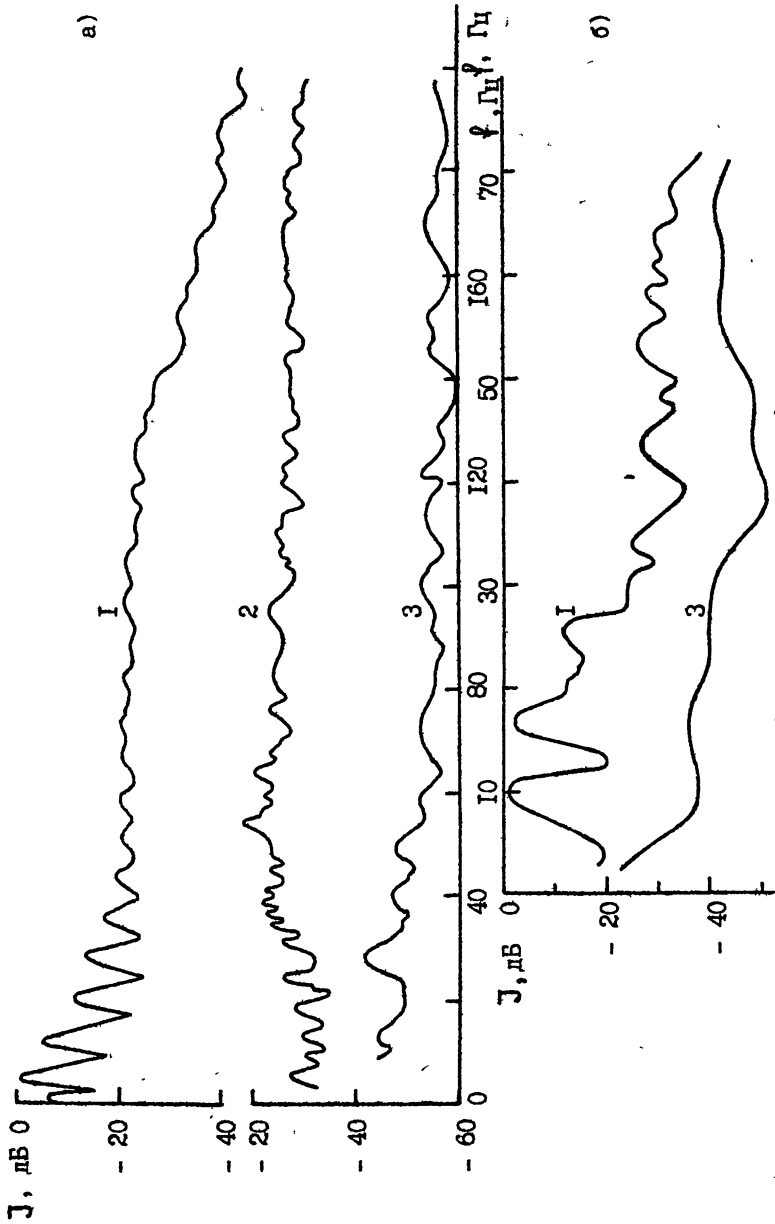


Р и с. 6. Соответствующие приведенным на рис.5 зависимостям $I(t)$ спектрограммы импульсных сигналов давления, представленные на плоскости частота - время звучания ($f - t$).

пазоне частот $14 \text{ Гц} \leq f \leq 16 \text{ Гц}$ (см.рис.3а). В-третьих, на значительных расстояниях заметно выделяется максимум в $S(t, \omega, T)$ на частотах $f = 12-14 \text{ Гц}$ (см.рис.6 б, в), существование которого объясняется наличием в этом частотном диапазоне минимумов у частотных зависимостей групповых скоростей фундаментальной и первой моды (см.рис.3а), которым, в свою очередь, соответствует замедленное по сравнению со сферическим законом (см.(18)) спадаение $|S_e(t, \omega, T)| \propto 1/r^{5/6}$ с расстоянием (19), а также особенностями спектрального состава излучения пневматической пушки (см.рис.7). В-четвертых, общий характер дисперсии на значительных расстояниях соответствует грунтовым волнам (см./II/), время распространения которых увеличивается с ростом частоты (см.рис.6б, в) аналогично дисперсии водных волн в подводном звуковом канале (см./31-36/), поэтому в частотном диапазоне $f < 60 \text{ Гц}$ следует ожидать отрицательных значений величины $\beta(f)$ (см./1, 2, 15/), которые в действительности и имеют место (см.рис.2, 3). Лишь на близких расстояниях (см.рис.6а), а также - более высоких частотах $f > 20 \text{ Гц}$ (см.рис.6б, в) едва просматривается наблюдающаяся обычно в мелком море (см./30, 36/) обратная зависимость времени звучания от частоты.

Заметим, что кажущееся противоречие о существенном вкладе в поле на значительных расстояниях мод более высоких номеров $\ell = 2, 3$ в первом случае (см.рис.2) и - низких номеров $\ell = 0, 1$ во втором (см.рис.6 б, в) объясняется различным спектральным составом излучения в используемых источниках звука (см.рис.7). Действительно, в спектре излучения пневматической пушки преобладает низкочастотный диапазон $f < 60 \text{ Гц}$, в котором заметно выделяется частота модуляции $f \approx 7,6 \text{ Гц}$, обратно пропорциональная периоду первой пульсации воздушной полости в жидкости, в то время как в спектре излучения непрерывного шумового сигнала преобладает более высокочастотный диапазон $f > 10^2 \text{ Гц}$.

В связи с последним замечанием представляет интерес также теоретическая оценка амплитуд мод $A_\ell(z_s, z_r, \xi_\ell)$ с номерами $\ell = 0, 1, 2, 3$, возбуждаемых в рассматриваемом волноводе (см. рис. 3) при различных условиях излучения и приема широкополосного звука, т.е. при $z_s \approx 3 \text{ м}$, $z_r = 39 \text{ м}$ и $z_s = 12 \text{ м}$, $z_r = 43 \text{ м}$



Р и с . 7
 Зависимости от частоты f интенсивности J (f, r) импульсного сигнала (1) и шума корабля (2) на расстоянии $r \approx 6$ км от гидроакустической автономной и донной станции - (а) и импульсного сигнала, принятого с расстояния $r \approx 13,7$ км на сейсмическую автономную донную станцию - (б); кривые 3 на обоих рисунках (а) и (б) отвечают усредненному уровню помех.

соответственно, которая может быть выполнена с использованием следующего выражения (см./12/):

$$A_{\ell}(z_s, z_r, \xi_{\ell}) = \sqrt{\frac{2\pi v_{\ell}}{K}} D(v_{\ell}) \sin\left(\frac{x_{\ell} z_s}{H}\right) \sin\left(\frac{x_{\ell} z_r}{H}\right),$$

$$D(v_{\ell}) = -Rb^4 (KH) v_{\ell}^3 \gamma_2 / \gamma_1 \cos(x_{\ell}) [E_1(v_{\ell}) - E_2(v_{\ell})],$$

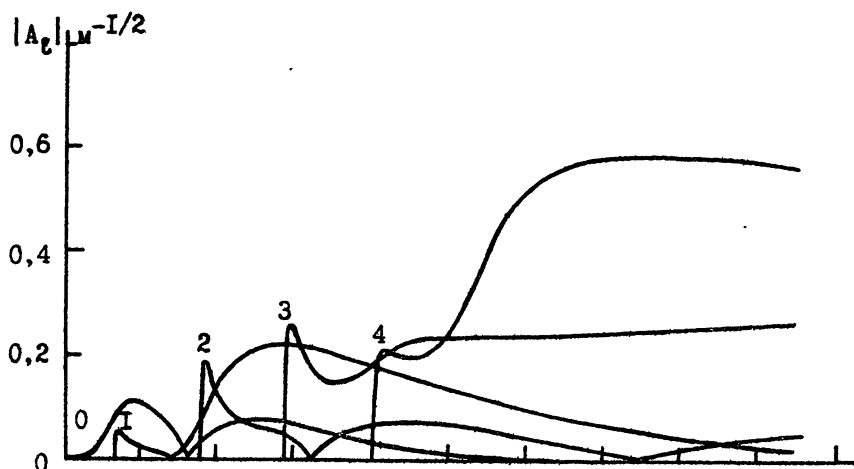
$$E_1(v_{\ell}) = Rb^4 v_{\ell}^4 \left[\frac{\sin(x_{\ell})}{\gamma_1 \gamma_2} \left(1 + \frac{\gamma_2^2}{\gamma_1}\right) - \frac{(KH) \gamma_2}{v_{\ell} \gamma_1^2 \cos(x_{\ell})} \right], \quad (27)$$

$$E_2(v_{\ell}) = 4 \cos(x_{\ell}) \left[\frac{\gamma_3}{\gamma_2} + \frac{\gamma_2}{\gamma_3} + 2\gamma_2 \gamma_3 - 2(2 - v_{\ell}^2) \right],$$

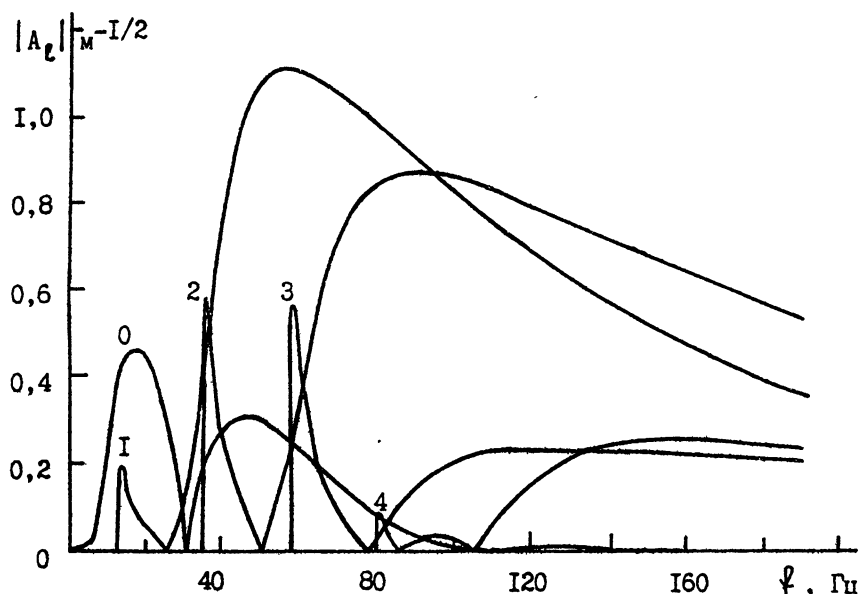
где $\gamma_1 = \sqrt{v_{\ell}^2 - 1}$, $\gamma_2 = \sqrt{1 - a^2 v_{\ell}^2}$, $\gamma_3 = \sqrt{1 - b^2 v_{\ell}^2}$,

$$x_{\ell} = KH \sqrt{v_{\ell}^2 - 1} / v_{\ell}, \quad K = \omega / c.$$

Как следует из приведенных на рис.8 результатов расчета, с ростом глубины излучения $Z_s = 3m+12m$ и приема $Z_r = 39m+43m$ поле мод $\ell = 0, I$ на частотах $f < 30$ Гц возрастает почти в два раза, что также приводит к "подчеркиванию" низкочастотного диапазона при приеме импульсных сигналов (см.рис.6). Кроме того, важно отметить, что, во-первых, в этой же области частот $f < 30$ Гц поле нулевой моды $\ell = 0$ при любых $0 < Z_s \leq H$ и $0 < Z_r \leq H$ существенно превышает поле первой моды, во-вторых, вклад нулевой моды в суммарное акустическое поле в волноводе существен лишь в диапазоне $f < 120$ Гц, вследствие чего уменьшение угла наклона интерференционных линий на рис.2 при $f > 120$ Гц не может быть объяснено интерференционными эффектами при взаимодействии нулевой моды $\ell = 0$ с



а)



б)

Р и с. 8 Теоретические зависимости от частоты φ амплитуд $|A_\ell|$ мод $\ell = 0, 1, 2, 3, 4$, полученные с использованием (27) при $Z_s = 3$ м, $Z_r = 39$ м - (а) и $Z_s = 12$ м, $Z_r = 43$ м - (б). $C = 1538$ м/с, $\rho = 10^3$ кг/м³, $H = 45$ м, $C_\ell = 4 \cdot 10^3$ м/с, $C_t = 2,4 \cdot 10^3$ м/с, $\rho_\ell = 3 \cdot 10^3$ кг/м³

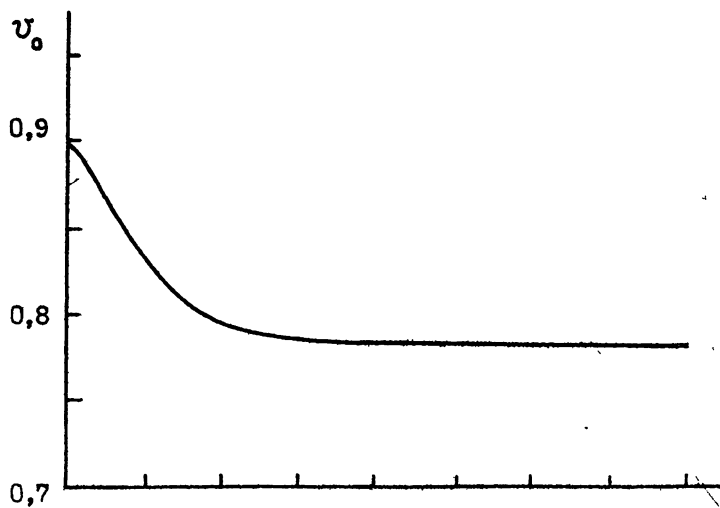
модами высших номеров $l = 1, 2, 3$ и обусловлено, по-видимому, влиянием плавной (непрерывной) стратификацией $C_r(z)$ и $C_t(z)$ ($z \geq H$) в подводном грунте на поведение $C_{\Phi l}(\varphi)$, $C_{r l}(\varphi)$ и $r_{em}(\varphi)$. Естественно, что с увеличением частоты все большее влияние на поведение амплитуды нулевой моды будет оказывать верхний осадочный слой с меньшими значениями акустических параметров ρ_r , C_t , C_r , которое приведет к существенному уменьшению амплитуды нулевой моды в высокочастотном диапазоне. Для доказательства последнего утверждения воспользуемся лишь в "чисто" иллюстративных целях той же простейшей моделью однородного упругого дна, но с другими эффективными параметрами $\rho_r = 2 \cdot 10^3 \text{ кг/м}^3$, $C_r = 2,7 \cdot 10^3 \text{ м/с}$ и различными значениями $C_t = 1,5 \cdot 10^3 \text{ м/с}$ и $C_t = 1,3 \cdot 10^3 \text{ м/с}$, выбранными таким образом, чтобы $C_t < C_r$, поскольку именно такая ситуация характерна для осадков. В этом случае единственно непереизлучающей модой будет нулевая мода, соответствующая волне Релея, дисперсия которой обусловлена наличием жидкого слоя (см. рис. 9). В последнем легко убедиться, используя асимптотический анализ уравнения (10). Так при $\varphi H/C \rightarrow 0$ из (10), (12) находим, что фазовая скорость нулевой моды совпадает со скоростью релейевской волны в однородном упругом полупространстве $C_{\Phi 0} = C_R = v_0 C$; при $\varphi H/C \rightarrow \infty$ из (10), (13), используя результаты /26/, для фазовой скорости нулевой моды получаем следующее выражение:

$$C_{\Phi 0} = \frac{C_t}{\xi_0}, \quad (28)$$

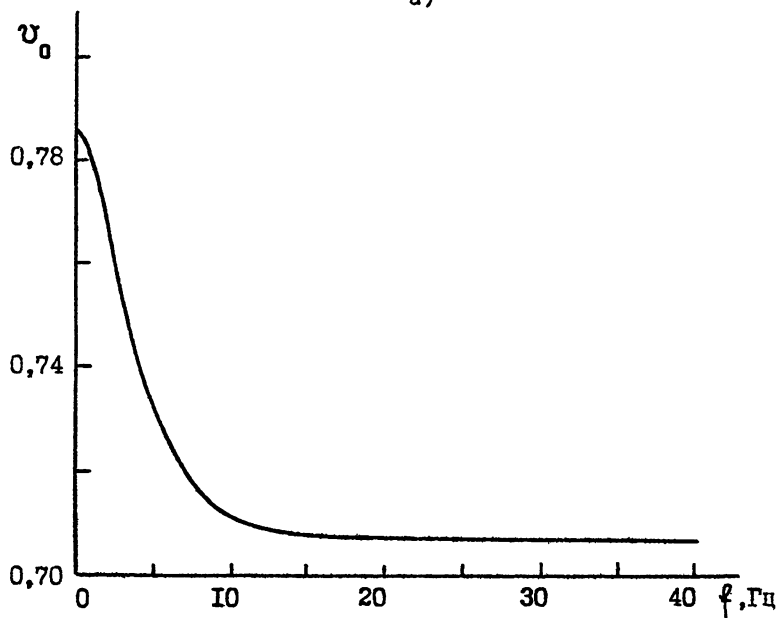
$$\xi_0 \approx \xi_R + R \nu_2 / 4 \nu_1 \xi_R \left\{ \xi_R^2 \left(\frac{\nu_3}{\nu_2} + \frac{\nu_2}{\nu_3} \right) + 2 \nu_2 \nu_3 - 2(2\xi_R^2 - 1) - \frac{R}{4 \nu_2 \nu_1} \right\},$$

где

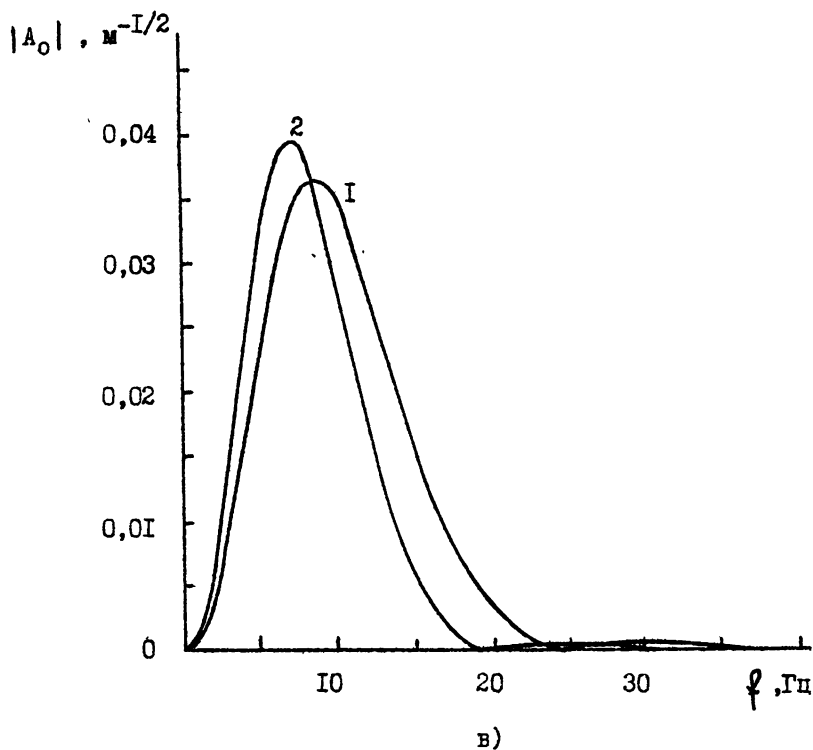
$$\xi_R = C_t / C_R, \quad C_R = v_0 C, \quad \nu_1 = \sqrt{\xi_R^2 - (C_t / C)^2},$$



a)



b)



Р и с. 9. Теоретические зависимости от частоты f фазовой скорости нулевой моды $v_0 = c_{\text{гг}}/c$ при $c_t = 1,5 \cdot 10^3$ м/с - (а) и $c_t = 1,3 \cdot 10^3$ м/с - (б), а также амплитуды нулевой моды A_0 при $Z_s = 3\text{м}$, $Z_r = 39\text{м}$ - (в) для случаев (а) - кривая I и (б) - кривая 2 :

$$c = 1538 \text{ м/с}, \quad \rho = 10^3 \text{ кг/м}^3, \quad H = 45 \text{ м},$$

$$c_t = 2,7 \cdot 10^3 \text{ м/с}, \quad \rho_t = 2 \cdot 10^3 \text{ кг/м}^3$$

$$\nu_2 = \sqrt{\xi_R^2 - 1}, \quad \nu_3 = \sqrt{\xi_R^2 - (c_t/c_\ell)^2}$$

С точностью до первого порядка малости по $R \ll 1$ из (28) находим (при $c_t \neq c$)

$$C_{\Phi 0} \approx C_R \left\{ \frac{1 - R \nu_2^2 \nu_3}{16 \xi_R^6 \nu_1} \left[1 - \frac{3 \left[\left(\frac{c_t}{c_\ell} \right)^2 + 1 \right] - 2 \left(\frac{c_t}{c_\ell} \xi_R \right)^2}{4 \xi_R^2} \right] \right\} \quad (29)$$

Поскольку величина $\left\{ 1 - \left[3 \left[\left(\frac{c_t}{c_\ell} \right)^2 + 1 \right] - 2 \left(\frac{c_t}{c_\ell} \xi_R \right)^2 / 4 \xi_R^2 \right] \right\}$ всегда положительна, то из (29) следует, что наличие жидкого слоя приводит к уменьшению скорости волны Релея (см. рис.9). Дисперсия нулевой релеевской моды уменьшается с понижением скорости сдвига - вой волны (см. (29) и рис.9), что приводит в конечном счете к заметному смещению максимума поля нулевой моды в низкочастотный диапазон (см. рис.9).

При $fH/c \rightarrow \infty$ из (10), (13) можно также найти второй корень, соответствующий (при $c_R \neq c$) фазовой скорости волны Стоунли-Шолте,

$$C_{\Phi 0} = C_S \approx c \left\{ 1 - \frac{\frac{R^2 b^8 (1-a^2)}{2}}{\left[(2-b^2)^2 - 4 \sqrt{(1-a^2)(1-b^2)} \right]^2} \right\}, \quad (30)$$

который является комплексным в рассматриваемом здесь случае $b > 1$, вследствие переизлучения энергии этой волны в упругое полупространство.

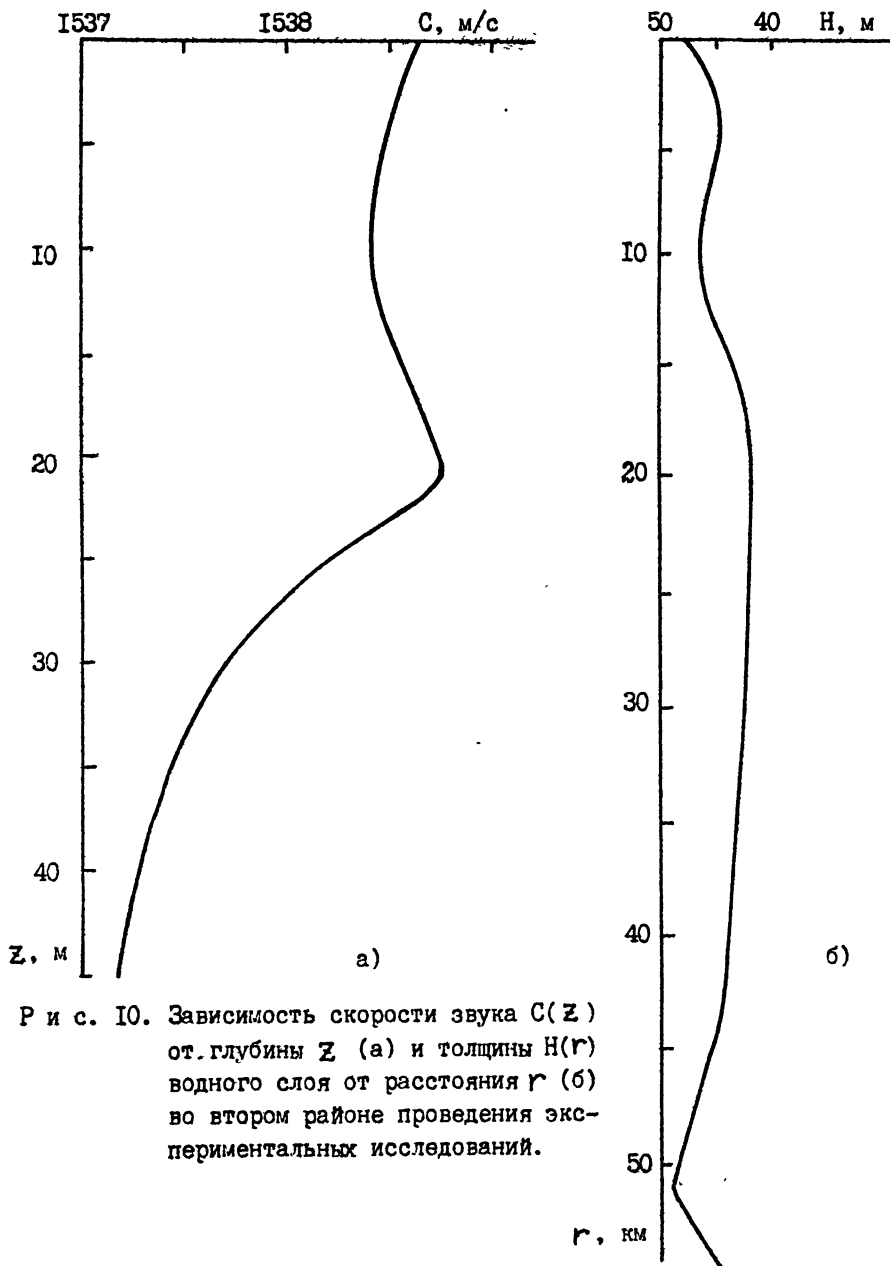
Из сказанного относительно волн Релея и Стоунли-Шолтэ при $C_t < C$ следует, что зарегистрированные в /23, 39/ медленные волны не являются поверхностными волнами Стоунли-Шолтэ, как считалось в /23, 39/, а являются соответствующими модами волны Релея. Сделанный по этому поводу в /23, 39/ некорректный вывод обусловлен слишком общим определением волны Стоунли-Шолтэ на границе жидкость - твердое тело (см. стр. 163 в /22/, а также /41/), которая определялась как поверхностная волна с фазовой скоростью, меньшей скорости звука в жидкости: $C_{оф} = C_s < C$. Такое определение для волны Стоунли-Шолтэ справедливо лишь при $C_t > C$, когда релеевская волна является переизлучающей и распространяется со скоростью $C_R > C$ (см. (29)), поскольку при $C_t < C$ поверхностная волна Релея и переизлучающая волна Стоунли-Шолтэ распространяются обе со скоростями, меньшими скорости звука в жидком слое (см. (29), (30)).

Воспользуемся теперь вторым импульсным методом исследования интерференционной структуры широкополосного звука в мелком море.

Как уже говорилось выше, зависимости $r_{em}(\varphi)$ можно получить с использованием широкополосных импульсов давления, излучаемых периодически через временной интервал Δt ; для этого необходимо выполнить спектральный анализ каждого сигнала с полной длительностью звучания $\tau_k(r)$

$$J(\omega, r) = \left| \int_{t_s(r)}^{t_s(r) + \tau_k(r)} p(t) e^{i\omega t} dt \right|^2,$$

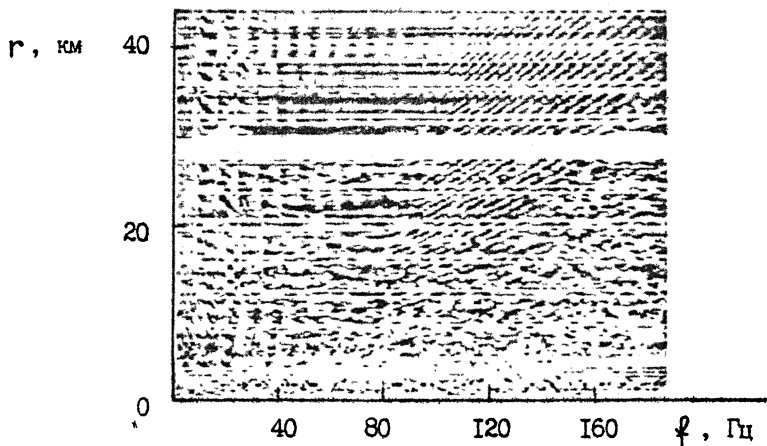
а затем осуществить спектральное представление на плоскости $\varphi - r$, аналогично как и для непрерывного широкополосного шумового сигнала (см. рис. 2); здесь $t_s(r)$ - минимальное время распространения сигнала на расстояние r . Обратимся к результатам экспериментальных исследований, которые были получены в аналогичном мелководном районе океана, дно которого было более ровным (см. рис. 10) по сравнению с первым районом (см. рис. 1). В качестве источника широкопо-



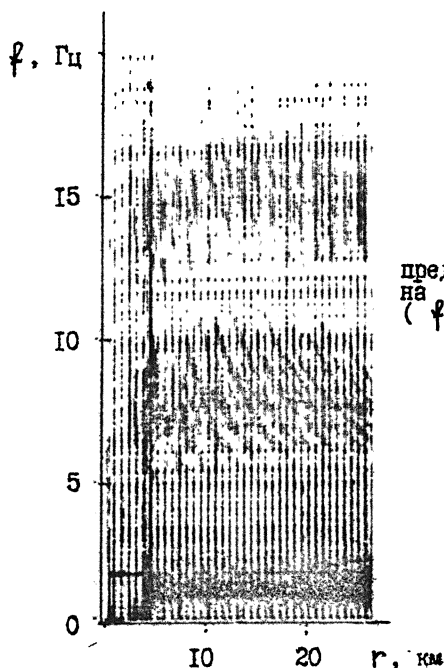
Р и с. 10. Зависимость скорости звука $C(Z)$ от глубины Z (а) и толщины $H(r)$ водного слоя от расстояния r (б) во втором районе проведения экспериментальных исследований.

досных импульсных сигналов использовалась также пневмопушка с рабочим объемом $V_0 = 15$ л, которая при буксировке со скоростью $v = 3,5$ м/с на глубине $z_s = 10-12$ м излучала периодически через $\Delta t = 60$ с импульс давления; прием сигналов осуществлялся на одиночный ненаправленный гидрофон $z_r = 39$ м гидрoакустической автономной донной станции. Из приведенной на рис. II пространственно - частотной зависимости импульсных сигналов видно качественно похожее поведение (см. рис. 2) интерференционных линий $r_{em}(\varphi)$; меньшая по сравнению с рис. 2 отчетливость этих линий обусловлена, во-первых, существенным спаданием энергии по спектру в импульсном сигнале, приблизительно на 30 дБ при изменении частоты от 7,6 до 150 Гц (см. рис. 7); во-вторых, ограниченностью сигнала по входу на расстояниях $0 \leq r \leq 6$ км. Однако на рис. II видны также и принципиальные отличия от приведенных на рис. 2 результатов, вызванные существованием интерференционных линий в низкочастотном диапазоне $\varphi < 14$ Гц при импульсном зондировании, которые хорошо просматриваются на рис. 12. Наличие интерференционных линий в диапазоне частот $\varphi < 14$ Гц обусловлено, по-видимому, интерференционными эффектами при взаимодействии нулевой моды, амплитуда которой в этом диапазоне еще достаточно велика (см. рис. 13), и боковой волны в жидкости, образующейся при распространении сдвиговой волны в упругом полупространстве, которые формируют второй предвестник перед водной волной (см. рис. 14). Используя простейшее соотношение $\Delta t_{\varphi t} = r(c_t^{-1} - c_\ell^{-1})$, нетрудно убедиться в том, что первый предвестник на рис. 14 сформирован боковой волной, образующейся при распространении продольной волны в упругом полупространстве. Достоинство импульсного зондирования при получении $r_{em}(\varphi)$ заключается как раз в возможности раздельного спектрального анализа различных участков сигнала, позволившее в данном случае идентифицировать волны, вносящие определяющий вклад в формирование интерференционной структуры поля на частотах $\varphi < 14$ Гц.

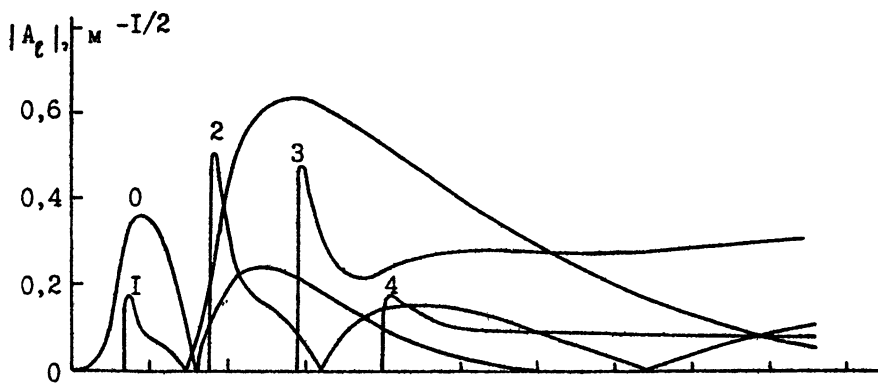
Из приведенных на рис. 15 зависимостей от расстояния интенсивности $\bar{J}(\varphi, r) = \Delta \varphi^{-1} \int_{\varphi - \Delta \varphi/2}^{\varphi + \Delta \varphi/2} J(\varphi, r) d\varphi$ в узкой частотной полосе $\Delta \varphi = 4$ Гц следует, что спад интенсивности звука существенно выражен в диапазоне частот $\varphi < 30$ Гц и в области расстояний $0 \leq r \leq 20$ км, т.е. как раз в той области, где существуют интерференционные линии в низкочастотном диапазоне $\varphi < 14$ Гц (см. рис. 12); при $r > 20$ км



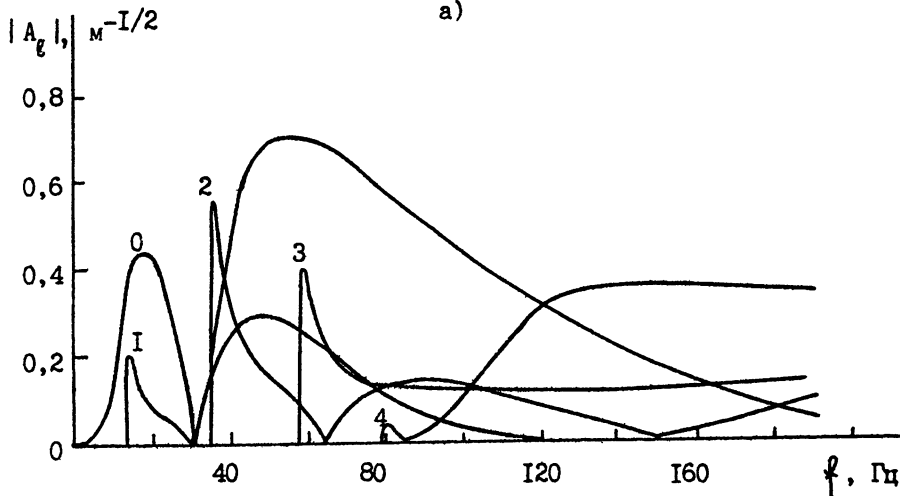
Р и с. 11 Пространственно-частотное распределение интенсивности импульсных сигналов (во втором районе), представленное в плотностной записи на плоскости частота - расстояние ($f - r$): $Z_s = 12$ м, $Z_r = 39$ м



Р и с. 12 Пространственно-частотное распределение интенсивности импульсных сигналов в низкочастотном диапазоне (для второго района), представленное в плотностной записи на плоскости частота - расстояние ($f - r$): $Z_s = 12$ м, $Z_r = 39$ м



a)

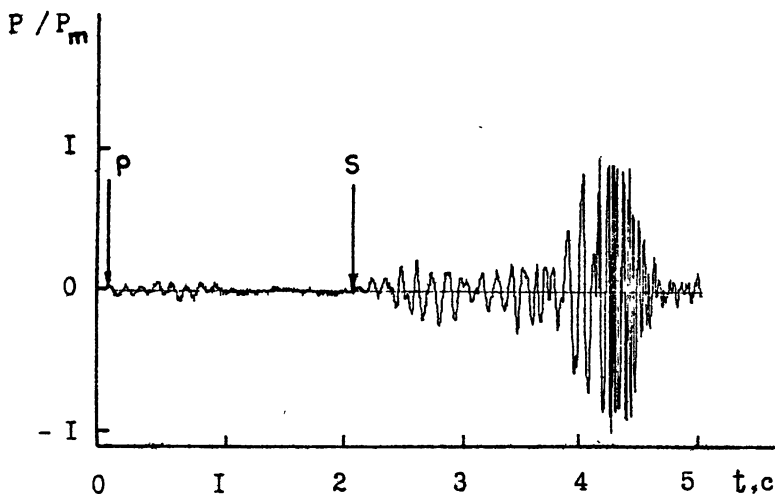


б)

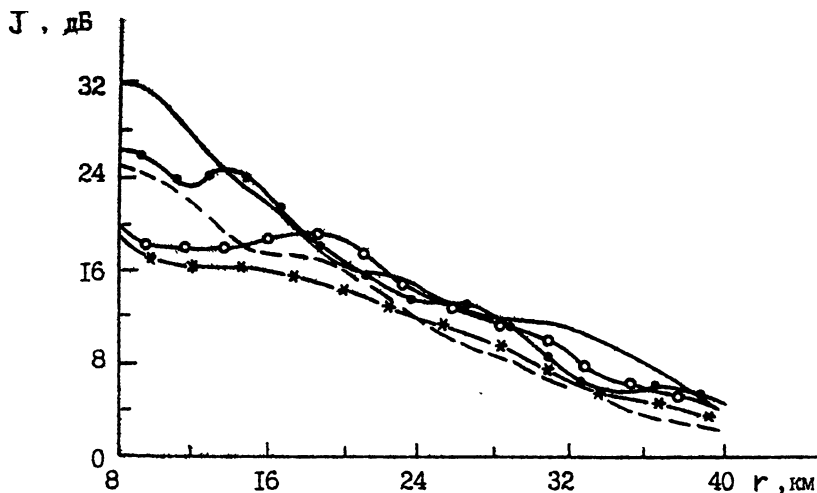
Р и с. 13. Теоретические зависимости от частоты f амплитуд $|A_\ell|$ мод $\ell = 0, 1, 2, 3, 4$, полученные с использованием (27) при $Z_r = 39$ м, $Z_s = 10$ м (а) и $Z_r = 39$ м, $Z_s = 12$ м (б):

$$C = 1538 \text{ м/с}, \quad \rho = 10^3 \text{ кг/м}^3, \quad H = 45 \text{ м},$$

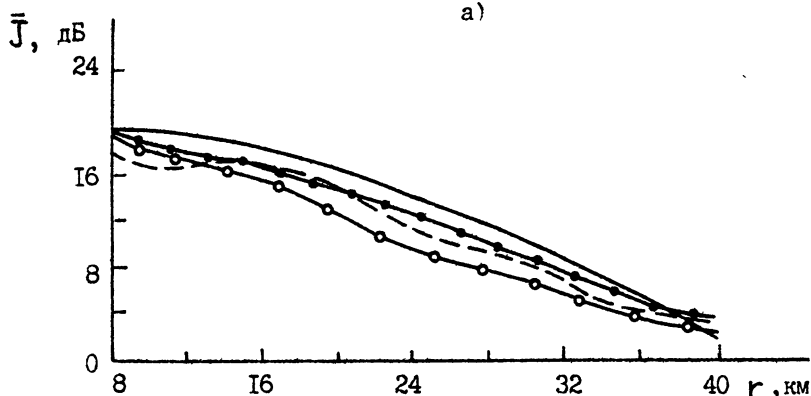
$$C_\ell = 4 \cdot 10^3 \text{ м/с}, \quad C_t = 2,4 \cdot 10^3 \text{ м/с}, \quad \rho_\ell = 3 \cdot 10^3 \text{ кг/м}^3$$



Р и с. 14. Экспериментальная зависимость от времени t возмущения давления p в импульсном сигнале, принятом с расстояния $r = 12$ км на гидроакустическую автономную донную станцию; здесь $p_m = \max\{|p|\}$, $Z_S = 12$ м, $Z_r = 39$ м, вертикальными стрелками отмечены приходы боковых волн, обусловленных распространением в упругом полупространстве продольных (P) и сдвиговых (S) волн.



а)



б)

Р и с. 15. Усредненные по трем ближайшим реализациям импульсных сигналов экспериментальные зависимости от расстояния r интенсивности $\bar{J}(\varphi, r)$ в узкой полосе $\Delta f = 4$ Гц на различных частотах во втором мелководном районе:

- а) — $\varphi = 10$ Гц, — $\varphi = 30$ Гц, --- $\varphi = 40$ Гц,
 —* $\varphi = 50$ Гц, —○ $\varphi = 90$ Гц;
 б) — $\varphi = 60$ Гц, —● $\varphi = 70$ Гц, --- $\varphi = 80$ Гц,
 —○ $\varphi = 100$ Гц.

спад интенсивности на низких $f < 30$ Гц и высоких $f > 50$ Гц частотах становится приблизительно одинаковым. Существование по-вышенного спада интенсивности звука в низкочастотном диапазоне подтверждает также предположение о существенном вкладе в поле на этих частотах при $0 \leq r \leq 20$ км боковых волн, амплитуды которых изменяются с расстоянием быстрее $J^{1/2}(f, r) \propto r^{-2} \div r^{-4} / 42, 43/$, чем у мод $J^{1/2}(f, r) \propto r^{-1}$.

4. ЗАКЛЮЧЕНИЕ

Здесь сформулируем основные результаты выполненных исследований.

Во-первых, показано, что особенности пространственно-частотного распределения интенсивности широкополосного звука, характеризующиеся вертикальными участками интерференционных линий на плоскости частота - дистанция, в мелком море при маломодовом режиме распространения присутствуют всегда в определенных диапазонах частот и во всей области расстояний, в которой наблюдается интерференционная структура поля. Поэтому понятие инварианта β пространственно-частотной интерференционной структуры поля (I)/I, 2/ имеет смысл (ограниченно) не только для определенной группы мод (см./I, 2/), но и для определенных диапазонов частот (для каждого свой).

Во-вторых, выяснено, что при изменении условий распространения по трассе, например, глубины водного слоя, будут наблюдаться смещения особенностей $\beta(f)$ по частоте, причем вниз по диапазон при увеличении глубины и вверх по диапазону при уменьшении глубины слоя жидкости. Поэтому на определенных расстояниях в соответствующих диапазонах частот будут возникать особенности пространственно-частотной интерференционной структуры поля; причем, в отличие от вывода в /8/, даже малые и плавные изменения глубины водного слоя могут привести к возникновению особенности $\beta^{-1}(f) = 0$ на определенном расстоянии, тем меньшем, чем ближе рассматриваемый частотный диапазон к частоте пересечения групповых скоростей соответствующих мод. Следует отметить также, что при распространении широкополосного звука из мелководного участка в глубоководный участок океанического волновода с приповерхностным звукомым

каналом особенность $\beta^{-1} = 0$ (см./8/) будет возникать также лишь в узком диапазоне частот, зависящем от расстояния между корреспондирующими точками.

В-третьих, доказано, что в низкочастотном диапазоне на формирование интерференционной структуры широкополосного звука в мелком море существенно влияют сейсмические волны Релея, Стоунли-Шолтэ и боковые волны.

В-четвертых, выяснено, что на малых расстояниях от источника интерференционная структура поля не является регулярной, вследствие заметного уменьшения с расстоянием количества определяющих поле волноводных мод, вызванного затуханием звуковых волн; по мере увеличения расстояния, интерференционная структура поля становится все более регулярной, а в пределе при двухмодовом режиме распространения представляет собой периодически чередующиеся интерференционные линии на плоскости частота - расстояние.

Л И Т Е Р А Т У Р А

1. Чупров С.Д., Мальцев Н.Е. Инвариант пространственно-частотной интерференционной структуры звукового поля в слоистом океане // Докл. АН СССР. - 1981. - Т.275, № 2. - С. 475-479.
2. Чупров С.Д. Интерференционная структура звукового поля в слоистом океане // Акустика океана. Современное состояние / Под ред. Л.М.Бреховских, И.Б.Андреевой. - М.: Наука, 1982. - С.71-92.
3. Баранов В.А., Григорьев В.С. Водный слой как измерительный инструмент // Акуст. журн. - 1982. - Т.28, № 5. - С.558-569.
4. Голубев В.Н., Лазарев В.А., Орлов Е.Ф., Раков И.С., Соколов А.Д., Шаронов Г.А., Шевцов В.П. Экспериментальные исследования интерференции широкополосного звука в океане // Интерференция широкополосного звука в океане / Под ред. В.А.Зверева, Е.Ф. Орлова. - Горький: ИПФ АН СССР, 1984. - С.93-132.
5. Голубев В.Н., Ильичев В.И., Орлов Е.Ф., Раков И.С., Соколов А.Д., Шаронов Г.А., Шевцов В.П. Экспериментальное исследование интерференции широкополосного звука в поверхностном океаническом волноводе // Акустические волны в океане / Под ред. Л.М. Бреховских, И.Б.Андреевой. - М.: Наука, 1987. - С.100-111.

6. Бархатов А.Н., Горская Н.В., Громогласов Н.М., Николаев Г.Н., Салин Б.М., Сергеев Е.И. Исследования в модельных условиях интерференционной структуры широкополосного сигнала в акустическом волноводе//Интерференция широкополосного звука в океане/Под ред.В.А.Зверева, Е.Ф.Орлова. - Горький: ИПР АН СССР, 1984. - С.73-81.
7. Бреховских Л.М. Волны в слоистых средах. - М.: Наука, 1973. - 343 с.
8. Буренков С.В. Особенности интерференционной структуры акустического поля в двумерно-неоднородном волноводе//Акуст.журн. - 1989. - Т.35, № 5. - С.797-800.
9. Мальцев Н.Е. Элементы теории распространения звука в слое - том океане в терминах нового асимптотического представления//Акустические волны в океане/Под ред.Л.М.Бреховских, И.Б.Андреевой. - М.: Наука, 1987. - С.41-52.
10. Кулаков О.Г., Мальцев Н.Е., Чупров С.Д. О возбуждении групп мод в слоистом океане//Акуст.журн. - 1983. - Т.29, № 1. - С.74-79.
11. Пученкина С.В., Салин Б.М. Исследование свойств дна в мелководных районах по дисперсионным характеристикам низкочастотных акустических волн//Акуст.журн. - 1987. - Т.33, № 3. - С.546-550.
12. Каценеленбаум Б.З. Теория нерегулярных волноводов с медленно меняющимися параметрами. - М.: АН СССР, 1961. - 216 С.
13. Pierce A.D. Extension of the method of normal modes to sound propagation in an almost-stratified medium//J.Acoust.Soc. Amer. - 1965. - V.37, N 1. - P.19 - 27.
14. Hawker K.E. A normal mode theory of acoustic Doppler effects in the oceanic waveguide//J.Acoust.Soc.Amer. - 1979. - V.65, N 3. - P.675 - 686.
15. Иванова Г.К. К вопросу о пространственно-частотной зависимости звукового поля в слоистых средах//Акуст.журн. - 1984. - Т.30, № 4. - С.490-494.
16. Stevens K.J., Weston D.E. Interference of wide-band in shallow water//J.Sound and Vibr. - 1972. - V.21, N 1. - P.57-64.

17. Bachman R.T., Kay G.T. Broadband interference patterns in shallow water//J.Acoust.Soc.Amer. - 1983. - V.74, N 2. - P. 576 - 580.
18. Soares-Filho W., Vianna M.L. Broadband noise propagation in Pekeris waveguide//J.Acoust.Soc.Amer. - 1986. - V.79, N 1. - P.76 - 83.
19. Мадкина И.Г., Шевцов В.П. Исследование стабильности интерференционной структуры акустического поля в мелком море//Акуст. журн. - 1989. - Т.35, № 5. - С.870-876.
20. Glattetre J., Knudsen T., Sostrand K. Mode interference and mode filtering in shallow water: A comparison of acoustic measurements and modeling//J.Acoust.Soc.Amer. - 1989. - V.86, N 2. - P.680 - 689.
21. Пекерис К. Теория распространения звука взрыва в мелкой воде //Распространение звука в океане/Под ред.Л.М.Бреховских. - М.: Иностран.литер., 1951. - С.48-156.
22. Ewing W.M., Jardetzky W.S., Press F. Elastic waves in layered media. New York: McGraw-Hill, 1957. - 580 p.
23. Ellis D.D., Chapman D.M.F. A simple shallow water propagation model including shear wave effects//J.Acoust.Soc.Amer. - 1985 - V.78, N 6. - P.2087 - 2099.
24. Викторов И.А. Звуковые поверхностные волны в твердых телах.- М.: Наука, 1981. - 136 С.
25. Грудская О.Н., Грудский С.М., Ривелис Е.А. Численное исследование вклада различных частей акустического поля в моделях Пекериса и Шермана//Акуст.журн. - 1989. - Т.35, № 4. - С.752 -753.
26. Петухов Ю.В. Влияние гравитации на распространение поверхностных волн вдоль границы раздела Земля - Атмосфера// Приприти № 269. - Горький: НИРФИ, 1989. - 7 с.
27. Chapman D.M., Stual Ph.R., Zakaranskas P. The effect of variable roughness of a granite seabed on low-frequency, shallow-water acoustic propagation//Progr.Underwater acoust.Proc.12th Int.Congr.Acoust.Assoc.Symp.Underwater acoust.; Halifax, July 16-18, 1986. N.Y.,London, 1987. - P.485 - 492.

28. Волькинштейн М.М., Левин В.М. Аномальное поглощение поверх -
ностных акустических волн на границе раздела жидкость - твер -
дое тело//Письма в ЕТФ. - 1986. - Т.12, № 4. - С.1498-1503.
29. Brooke G.H., Chamuel J.A. Transient Scholt wave transmission
along a rough liquid-solid interface//J.Acoust.Soc.Amer. -
1988. - V.83, N 3. - P.1336 - 1344.
30. Barokos P.A. Experimental determination of compressional ve -
locity for the bottom layer by the dispersion method//J.Acoust
Soc.Amer. - 1962. - V.34, N 12. - P.1919 - 1926.
31. Porter R.P. Dispersion of axial SOFAR propagation in the
western Mediterranean//J.Acoust.Soc.Amer. - 1973. - V.53,
N 1. - P.181 - 191.
32. Porter R.P. Transmission and reception of transient signals
in a SOFAR channel//J.Acoust.Soc.Amer.-1973. - V.54, N 4. -
P.1081 - 1091.
33. Yang T.C. Method for measuring the frequency dispersion for
broadband pulses propagation to long ranges//J.Acoust.Soc.
Amer. - 1984. - V.76, N 1. - P.253 - 261.
34. Yang T.C. Dispersions and ranging of transient signals in
the Arctic ocean//J.Acoust.Soc.Amer. - 1984. - V.76, N 1. -
P.262 - 273.
35. Лазарев В.А., Орлов Е.Ф., Петухов Ю.В., Шаронов Г.А. Транс -
формация дисперсионных характеристик в слоисто-неоднород н ых
волноводах//Акуст.журн. - 1986. - Т.32, № 2. - С.190-197.
36. Голубев В.Н., Петухов Ю.В., Шаронов Г.А. О соотношении энер -
гетических характеристик широкополосных импульсных сигна л о в
донных отражений различной кратности//Акуст.журн. - 1988. -
- Т.34, № 3. - С.453-458.
37. Подьянская В.А. О поле импульсного излучателя в подводном зву -
ковом канале//Акуст.журн. - 1959. - Т.5, № 1. - С.91-99.
38. Вировлянский А.Л. О временной структуре импульсного сигнала в
подводном звуковом канале//Акуст.журн. - 1985. - Т.31, № 6. -
- С.790-792.
39. Макдэниел С.Т., Бишб Дж.Х. Влияние полуконсолидированных
осадков на распространение звука в прибрежном районе//Акусти -
ка дна океана/Под ред.У.Купермана, Ф.Енсена. - М.: Мир, 1984.

- С.308-320.

40. Scholte J.G. The range of existence of Rayleigh and Stoneley waves//Monthly Notices Roy.Astron.Soc.: Geophys.Suppl. - 1947. - V.5, N 3. - P.120 - 126.
41. Biot M.A. The interaction of Rayleigh and Stoneley waves in the ocean bottom//Bull.Seism.Soc.Amer. - 1952. - V.42, N 1. - P.81 - 92.
42. Газарян Ю.Л. Поле точечного излучателя в слое, лежащем на полупространстве//Акуст.журн. - 1958. - Т.4, № 2. - С.233 - 238.
43. Метлов Л.С. К вопросу о боковых волнах в жидком трехслойном пространстве//Акуст.журн. - 1984. - Т.30, № 4. - С.507-510.

Дата поступления статьи

4 января 1991 г.